

Rapport

Projectnummer: 372207

Referentienummer: SWNL0270275

Datum: 15-12-2020

Bestemmingsplan Hofskamp Oost III Varsseveld

Onderzoek luchtkwaliteit

Concept

Opdrachtgever:
Gemeente Oude IJsselstreek
Postbus 42
7080 AA Gendringen

Revisiebeheer

Revisie	Datum	Status	Belangrijkste wijzigingen
C0	14-07-2020	Concept	
C1	06-10-2020	Concept	Gebruiksfase maximale opp. met emissie.
C2	15-12-2020	Concept	Fijn stof maximale emissie 25 ha. Update naar Geomilieu 2020.2

Verantwoording

Titel Bestemmingsplan Hofskamp Oost III
Varsseveld

Subtitel Onderzoek luchtkwaliteit

Projectnummer 372207

Referentienummer SWNL0270275

Revisie C2

Datum 15-12-2020

Auteur Sergej Jansen

E-mailadres sergej.jansen@sweco.nl

Gecontroleerd door Rik Zegers

Paraaf gecontroleerd



Goedgekeurd door Rob Cornelis

Paraaf goedgekeurd



Inhoudsopgave

1	Inleiding	5
2	Toetsingskader	6
2.1	Milieukwaliteitseisen Wet milieubeheer	6
2.2	Regeling beoordeling luchtkwaliteit	7
3	Uitgangspunten	7
3.1	Werkwijze	7
3.2	Onderzochte situaties	7
3.3	Rekenmodel.....	8
3.4	Emissiebronnen	8
3.4.1	Gebruiksfase	8
4	Resultaten	10
5	Conclusie	11

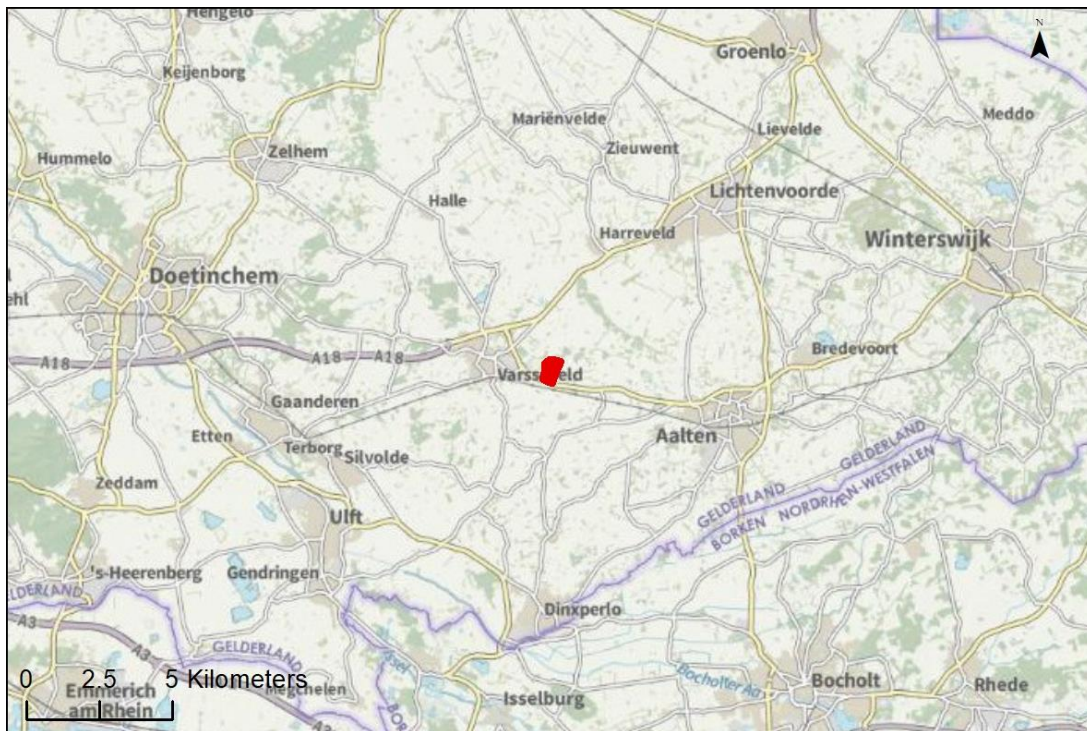
Bijlage 1 Geomilieu invoergegevens

Bijlage 2 Geomilieu rekenresultaten

1 Inleiding

De gemeente Oude IJsselstreek (hierna initiatiefnemer) is van plan om het bedrijventerrein Hofskamp Oost, gelegen aan de oostzijde van de kern Varsseveld, uit te breiden. De gemeente Oude IJsselstreek heeft behoefte aan bedrijfskavels. De nu nog beschikbare kavels zijn veelal in optie gegeven. De vraag naar bedrijfskavels houdt echter nog steeds aan. Daarom is de initiatiefnemer van plan om het bedrijventerrein Hofskamp Oost fase III te gaan ontwikkelen (locatie zie figuur 1-1). De beoogde gronden sluiten aan op het bestaande bedrijventerrein Hofskamp Oost II in Varsseveld. Met de ontwikkeling van bedrijventerrein Hofskamp Oost III wordt uitgegaan van een netto uitgeefbaar oppervlak van circa 25 hectare. De aanpassingen passen niet binnen het vigerende bestemmingsplan. Het bestemmingsplan moet daarom worden gewijzigd.

Met betrekking tot de planontwikkeling is een onderzoek uitgevoerd naar de effecten van het plan op de luchtkwaliteit. In deze rapportage zijn de uitgangspunten en resultaten vastgelegd van de berekeningen van het onderzoek luchtkwaliteit. Op basis van de resultaten wordt duidelijk of het plan zondermeer uitvoerbaar is.



Figuur 1-1 Locatie bestemmingsplan (rood gemarkeerd). Ondergrond: OpenTopo achtergrondkaart, PDOK

2 Toetsingskader

In dit hoofdstuk is het wettelijk kader geschetst waarbinnen het luchtonderzoek is opgezet. De regelgeving met betrekking tot de luchtkwaliteit van de buitenlucht is opgenomen in de Wet milieubeheer (Wm) en de bijbehorende algemene maatregelen van bestuur en ministeriële regelingen. In deze wet zijn de EU-richtlijnen met betrekking tot de luchtkwaliteit geïmplementeerd.

2.1 Milieukwaliteitseisen Wet milieubeheer

Het bevoegd gezag dient in bepaalde gevallen bij het nemen van ruimtelijke en infrastructurele besluiten en bij het verlenen van vergunningen, de luchtkwaliteit mee te nemen in de besluitvorming. Hierbij dient te worden nagegaan wat de gevolgen van het besluit zijn voor de luchtkwaliteit.

Als aan één of meer van onderstaande motiveringsgronden uit de Wet milieubeheer wordt voldaan, mag het bevoegd gezag positief besluiten:

- het project leidt niet tot overschrijdingen van de grenswaarden;
- het project leidt niet tot een verslechtering van de luchtkwaliteit;
- het project draagt 'niet in betekenende mate' bij aan de luchtkwaliteit;
- het project is onderdeel van het Nationaal Samenwerkingsprogramma Luchtkwaliteit.

In dit onderzoek is getoetst aan de grenswaarden voor de luchtkwaliteit (motiveringsgrond a).

Grenswaarden luchtkwaliteit

In de Wet milieubeheer zijn luchtkwaliteitsnormen opgenomen voor een aantal stoffen die de luchtkwaliteit bepalen. In Nederland dreigen er in de meeste gevallen enkel overschrijdingen van de grenswaarden voor stikstofdioxide en fijnstof¹. Deze grenswaarden zijn weergegeven in tabel 2.1. Als de effecten van een project niet leiden tot overschrijdingen van de grenswaarden, kunnen de ontwikkelingen hun doorgang vinden.

Tabel 2.1 Grenswaarden stikstofdioxide (NO₂) en fijnstof (PM₁₀ en PM_{2.5})

Stof	Type norm	Grenswaarde (µg/m ³)
Stikstofdioxide (NO ₂)	Jaargemiddelde concentratie	40
Stikstofdioxide (NO ₂)	Uurgemiddelde concentratie	200 ^a
Fijnstof (PM ₁₀)	Jaargemiddelde concentratie	40
Fijnstof (PM ₁₀)	Daggemiddelde concentratie	50 ^b
Fijnstof (PM _{2.5})	Jaargemiddelde concentratie	25

a) mag maximaal 18 keer per jaar overschreden worden, b) mag maximaal 35 keer per jaar overschreden worden

Voor fijnstof zijn er grenswaarden voor PM₁₀ en PM_{2.5}. Voor PM₁₀ is er een grenswaarde voor de 24-uurgemiddelde concentratie en een grenswaarde voor de jaargemiddelde concentratie. De grenswaarde voor het 24-uurgemiddelde is maatgevend. De grenswaarde voor de 24-uurgemiddelde concentratie PM₁₀ bedraagt 50 µg/m³ en mag maximaal gedurende 35 dagen per jaar worden overschreden. Dit is equivalent aan een jaargemiddelde concentratie PM₁₀ van 31,2 µg/m³. De grenswaarde voor de jaargemiddelde concentratie bedraagt 40 µg/m³. Voor PM_{2.5} is er één grenswaarde voor de jaargemiddelde concentratie en deze bedraagt 25 µg/m³.

¹ Fijnstof (particulate matter; PM) zijn in de lucht zwevende deeltjes van uiteenlopende groottes. PM₁₀-deeltjes hebben een diameter kleiner dan 10 micrometer. PM_{2.5}-deeltjes hebben een diameter kleiner dan 2,5 micrometer.

De concentraties PM₁₀ en PM_{2.5} zijn sterk gerelateerd. Uit onderzoek van het RIVM blijkt dat als aan de maatgevende grenswaarden voor PM₁₀ wordt voldaan ook aan de grenswaarde van PM_{2.5} wordt voldaan². De conclusies ten aanzien van PM₁₀ in dit onderzoek zijn dan ook van toepassing op PM_{2.5}. In dit onderzoek zijn daarom geen berekeningen voor PM_{2.5} uitgevoerd.

Voor NO₂ is er een grenswaarde voor de uurgemiddelde concentratie en een grenswaarde voor de jaargemiddelde concentratie. De grenswaarde voor de jaargemiddelde concentratie is maatgevend en bedraagt 40 µg/m³. De grenswaarde voor de uurgemiddelde concentratie NO₂ bedraagt 200 µg/m³ en mag maximaal gedurende 18 uur per jaar overschreden worden. Dit is equivalent aan een jaargemiddelde concentratie NO₂ van 82,2 µg/m³. Dergelijk hoge concentraties doen zich in Nederland bijna niet voor.

Ten aanzien van de overige stoffen waarvoor in de Wm grenswaarden zijn opgenomen³, zijn de laatste jaren nergens in Nederland normoverschrijdingen opgetreden en vertonen de concentraties een dalende trend. Dit beeld wordt bevestigd door metingen van het Landelijk Meetnet Luchtkwaliteit van het RIVM⁴. Daarmee is het redelijkerwijs niet aannemelijk dat ten gevolge van dit project de grenswaarden voor andere stoffen dan stikstofdioxide en fijnstof overschreden worden. Deze overige stoffen zijn daarom in dit onderzoek niet verder onderzocht.

2.2 Regeling beoordeling luchtkwaliteit

In de Regeling beoordeling luchtkwaliteit 2007 (Rbl 2007) zijn de regels voor het berekenen en meten van concentraties van luchtverontreinigende stoffen opgenomen. De regeling legt onder andere vast: de standaardrekenmethoden, de generieke invoergegevens en plaats van toetsing.

3 Uitgangspunten

3.1 Werkwijze

Doel van het luchtonderzoek is de effecten van het plan op de luchtkwaliteit inzichtelijk te maken en daarbij de concentraties van luchtverontreinigende stoffen te toetsen aan de grenswaarden voor de luchtkwaliteit. Voor het bepalen van de luchtkwaliteit zijn op basis van de emissies van luchtverontreinigende stoffen, ten gevolge van de activiteiten van het plan, de concentraties in de directe omgeving van het plangebied bepaald. Hiervoor is gebruik gemaakt van modelberekeningen. De berekende concentraties zijn vervolgens getoetst aan de grenswaarden voor de luchtkwaliteit.

3.2 Onderzochte situaties

In dit onderzoek zijn de effecten onderzocht van de gebruiksfase van het plan op de luchtkwaliteit. Met het plan wordt maximaal 25 hectare netto uitgeefbaar bedrijventerrein planologisch mogelijk gemaakt. De bedrijven vallen maximaal in milieucategorie 4.1. De luchtkwaliteit is onderzocht in een zone van 250 meter rondom het plangebied en langs de ontsluitende wegen. De berekeningen zijn uitgevoerd voor het jaar 2020. Dit is een worst case uitgangspunt omdat in de toekomstige jaren de bijdrage van het wegverkeer lager liggen.

² <http://www.infomil.nl/onderwerpen/klimaat-lucht/luchtkwaliteit/thema/stoffen/artikel/>

³ Zwaveldioxide, koolmonoxide, benzeen, lood, ozon, arseen, cadmium, nikkel, benzo(a)pyreen en stikstofoxiden.

⁴ Mooibroek, D., Berkhout, J.P.J. & Hoogerbrugge, R. (2013). Jaaroverzicht Luchtkwaliteit 2012. Rapport 680704023, Rijksinstituut voor Volksgezondheid en Milieu, Bilthoven

3.3 Rekenmodel

Voor het berekenen van de concentraties luchtverontreinigende stoffen is in dit onderzoek gebruik gemaakt van STACKS+ versie 2020.1/PreSRM 2.003 dat is opgenomen in het rekenprogramma Geomilieu V2020.2. STACKS+ is door het Ministerie van Infrastructuur en Waterstaat (I&W) goedgekeurd voor gebruik binnen de toepassingsgebieden van de drie standaard rekenmethodes (SRM 1 t/m 3). Het programma maakt gebruik van de generieke invoergegevens (achtergrondconcentraties, emissiefactoren, etc.) die jaarlijks door het Ministerie van I&W bekend worden gemaakt. In bijlage 1 zijn de invoergegevens van het rekenmodel opgenomen.

Bij de beoordeling van de luchtkwaliteit aan de grenswaarden uit de Wet milieubeheer dienen de rekenpunten in het rekenmodel zodanig te worden geplaatst dat een representatief beeld wordt verkregen van concentraties luchtverontreinigende stoffen in de omgeving van het plangebied. In het rekenmodel zijn de rekenpunten geplaatst in een zone van 250 meter rondom het plangebied en op 10 meter van de ontsluitende wegen. In bijlage 1 zijn de rekenpunten op kaart weergegeven.

3.4 Emissiebronnen

In deze paragraaf zijn de uitgangspunten beschreven die zijn gehanteerd voor de emissiebronnen in de verschillende situaties. In bijlage 1 zijn de invoergegevens van de emissiebronnen voor het rekenmodel opgenomen.

3.4.1 Gebruiksfase

Het bedrijventerrein mag volgens de planregels alleen zodanig worden gebruikt, dat er geen sprake is van stikstofemissie. Dit met uitzondering van het wegverkeer vanuit of richting het bedrijventerrein. Tijdens de gebruiksfase ontstaan er hiermee alleen emissies van stikstof ten gevolge van transportbewegingen van en naar het plangebied. In het bestemmingsplan is wel een afwijkingsbevoegdheid opgenomen voor het toestaan van bedrijven met stikstofemissie onder de voorwaarde dat er geen sprake is van een toename van stikstofdepositie met inachtneming van de op dat moment reeds toegestane stikstofemissie op het bedrijventerrein. Voor de gebruiksfase is in het onderzoek stikstofdepositie berekend wat het maximale oppervlak van het bedrijventerrein met de afwijkingsbevoegdheid kan worden uitgegeven en waarbij geen toename van de stikstofdepositie plaatsvindt. Dit betreft 5 ha. Voor fijn stof zijn geen beperkingen opgenomen in het bestemmingsplan.

Transportbewegingen wegverkeer

De emissies bij transportbewegingen worden automatisch bepaald door het rekenmodel op basis van emissiefactoren (g/km) per type voertuigen en per snelheidsprofiel, het aantal vervoersbewegingen per voertuigtype en de lengte van de afgelegde weg per vervoersbeweging.

Voor de verkeersintensiteiten op de ontsluitende wegen is de verkeersgeneratie van Hofskamp Oost III opgeteld bij de huidige verkeersintensiteiten. Door Sweco is voor het bedrijventerrein de verkeersgeneratie opgesteld en is de verkeersintensiteit in de huidige situatie bepaald. In tabel 3-2 is het totaal aantal vervoersbewegingen in de huidige situatie opgenomen. Voor de Euroweg is hierbij voor de totale intensiteit (werkdag) uitgegaan van de notitie verkeer opgesteld door Sweco. Voor de omrekening van werkdag naar weekdag is een factor 1/1,33 gehanteerd. Voor de voertuigverdeling is de verdeling van Hofskamp Oost III aangehouden.

Voor de N318 is gebruik gemaakt van een telpunt van de provincie Gelderland voor het jaar 2019⁵. In tabel 3-3 is de verkeersgeneratie van Hofskamp Oost III opgenomen voor de plansituatie.

De transportbewegingen zijn gemodelleerd binnen het plangebied (aannahme 50% in het noordelijk deel en 50% in het zuidelijk deel) en vanaf het plangebied tot aan de N318. Hier splitst het verkeer naar het westen (85%) richting de rotonde met de N818 waarna het opgaat in het heersende verkeersbeeld en naar het oosten (15%) waarna het na 1.000 meter opgaat in het heersende verkeersbeeld. In figuur 3-1 zijn deze routes weergegeven.

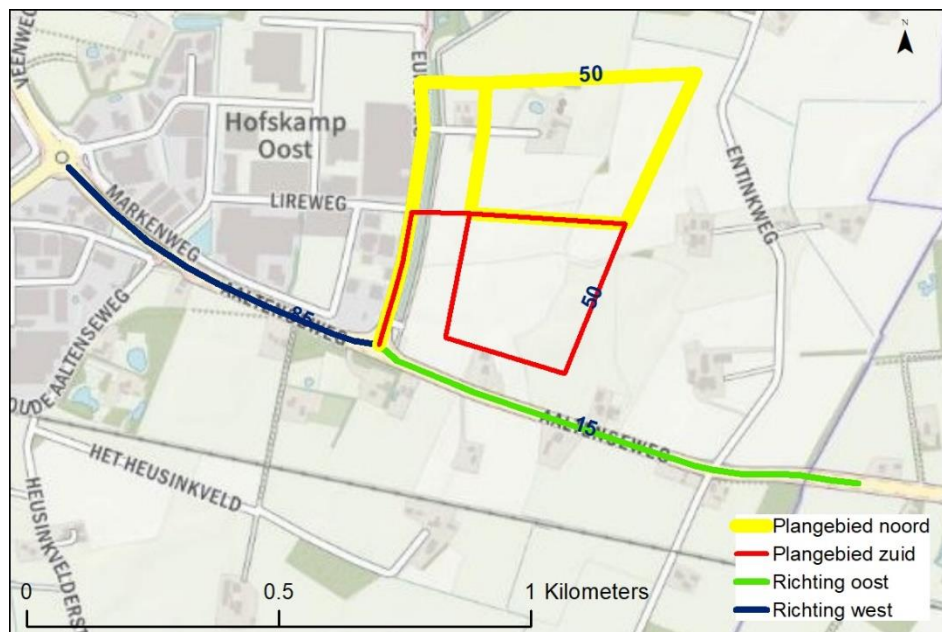
Binnen het plangebied en vanaf het plangebied tot aan de N318 is een snelheid van 30 km/u gehanteerd. Op de N318 is een snelheid van 80 km/u gehanteerd.

Tabel 3-2 Verkeersintensiteiten huidige situatie (jaargemiddelde weekdagintensiteit)

	Euroweg	N318
Totaal (mvt/etm)	436	12.350
Licht (%)	81,0	86,7
Middel (%)	7,8	7,7
Zwaar (%)	11,2	5,6

Tabel 3-3 Verkeersgeneratie Hofskamp Oost III (jaargemiddelde weekdagintensiteit)

		N318 ri. west	N318 ri. oost	Plan noord	Plan zuid
Totaal	3.950	3.358	592	1.975	1.975
Licht	3.200	2.720	480	1.600	1.600
Middel	308	262	46	154	154
Zwaar	442	376	66	221	221



Figuur 3-1 Verdeling wegverkeer Hofskamp Oost III

⁵ <https://www.gelderland.nl/geldersverkeer>

Bedrijfsgebonden emissies

Het bestemmingsplan maakt met een afwijkingsbevoegdheid op het bedrijventerrein bedrijven mogelijk t/m milieucategorie 4.1 waarbij wel emissie van stikstof mag plaatsvinden. Om een realistische inschatting te kunnen maken van de emissies zoals deze bij bedrijvigheid vrijkomt, is aangesloten bij de door het CBS gepubliceerde cijfers van 2015. In de databank⁶ van CBS, Statline, zijn de emissies per bedrijfssector weergegeven (stationaire bronnen en mobiele bronnen). In de databank van het CBS is ook het totale oppervlak aan bedrijventerreinen in Nederland vermeld. Op basis van deze gegevens zijn de emissies vertaald naar een gemiddelde emissie per hectare bedrijventerrein per jaar. Dit is exclusief emissies van de energiesector, bouwnijverheid, waterbedrijven, afvalbedrijven, dienstverlening en de landbouw.

In tabel 3-4 is voor NO_x de maximale emissie opgenomen opgenomen voor het oppervlak (5 ha) dat met de afwijkingsbevoegdheid kan worden uitgegeven en waarbij geen toename van de stikstofdepositie plaatsvindt. In tabel 3-5 is voor PM₁₀ de maximale emissie opgenomen. De emissies van NO_x en PM₁₀ zijn in grote mate van elkaar afhankelijk maar omdat in het bestemmingsplan geen beperkingen zijn opgenomen voor PM₁₀ is bij de berekening van PM₁₀ als worst case uitgangspunt uitgegaan van het totale oppervlak van het bedrijventerrein. De emissies zijn door middel van puntbronnen verdeeld binnen het plangebied.

Tabel 3-4 Bedrijfsgebonden emissies NO_x Hofskamp Oost III

	Oppervlak (ha)	Emissie NO _x (kg/ha/jaar)	Emissie NO _x (kg/jaar)
Stationaire bronnen	5	280,3	1.401,5
Mobiele bronnen	5	69,5	347,5
			1.749,0

Tabel 3-4 Bedrijfsgebonden emissies PM₁₀ Hofskamp Oost III

	Oppervlak (ha)	Emissie PM ₁₀ (kg/ha/jaar)	Emissie PM ₁₀ (kg/jaar)
Stationaire bronnen	25	77,4	1.935,0
Mobiele bronnen	25	3,1	77,5
			2.012,5

4 Resultaten

In tabel 4.1 en bijlage 2 zijn voor de plansituatie de concentraties weergegeven voor de verschillende onderzochte stoffen. Het betreft hier de achtergrondconcentratie inclusief planbijdragen incl. toepassing afwijkingsbevoegdheid. Voor de toetsing aan de grenswaarden zijn de jaargemiddelde concentraties conform de Regeling beoordeling luchtkwaliteit 2007 afgerond op hele microgrammen. Uit de resultaten blijkt dat er geen overschrijdingen van de grenswaarden voor de jaargemiddelde concentratie stikstofdioxide of fijnstof plaatsvinden. De maximaal berekende jaargemiddelde concentratie NO₂ ter hoogte van de rekenpunten bedraagt 19 µg/m³. Voor PM₁₀ is dit 21 µg/m³.

⁶ <https://opendata.cbs.nl/statline/#/CBS/nl/dataset/83390NED/table?dl=274F7>

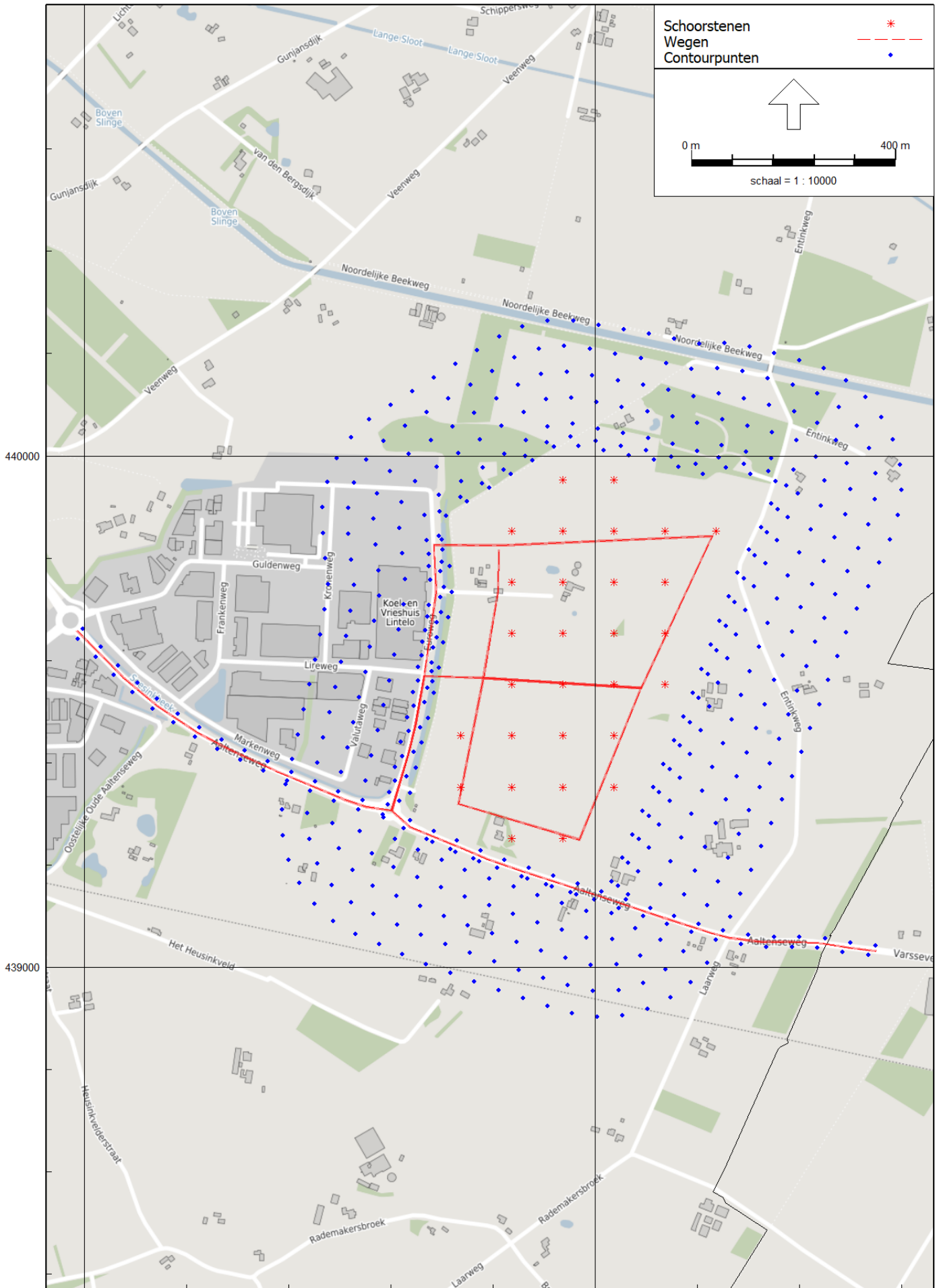
Tabel 4.1 *Maximale jaargemiddelde concentratie plansituatie*

	NO₂	PM₁₀
Jaargemiddelde concentratie (µg/m ³)	19	21

5 Conclusie

Uit de resultaten van het luchtonderzoek komt naar voren dat in de directe omgeving van het plangebied geen overschrijdingen optreden van de grenswaarden voor de concentraties stikstofdioxide en fijnstof. Hiermee worden ten gevolge van het plan ook geen mensen blootgesteld aan concentraties boven de grenswaarden. Hiermee voldoet het plan aan grondslag a van artikel 5.16 lid 1 uit de Wet milieubeheer. Op het gebied van luchtkwaliteit is er geen belemmering om het plan tot uitvoering te brengen.

Bijlage 1 Geomilieu invoergegevens



Model: 2020
Groep: (hoofdgroep)
Lijst van Wegen, voor rekenmethode Luchtkwaliteit - STACKS

Naam	Omschr.	Type	Wegtype	MZ	V	Breedte	Vent.F	Hscherm.	Can. H(L)	Can. H(R)	Can. br	Vent.X	Vent.Y	Vent.H	Int.diam.	Ext.diam.
Richting west		Verdeling	Normaal	False	80	5.00	0.00	0.00	--	--	0.00	--	--	1.50	1.00	1.10
Richting oost		Verdeling	Normaal	False	80	5.00	0.00	0.00	--	--	0.00	--	--	1.50	1.00	1.10
Plangebied noord		Verdeling	Normaal	False	30	5.00	0.00	0.00	--	--	0.00	--	--	1.50	1.00	1.10
Plangebied zuid		Verdeling	Normaal	False	30	5.00	0.00	0.00	--	--	0.00	--	--	1.50	1.00	1.10
Euroweg huidig		Verdeling	Normaal	False	30	5.00	0.00	0.00	--	--	0.00	--	--	1.50	1.00	1.10
N318 huidig		Verdeling	Normaal	False	80	5.00	0.00	0.00	--	--	0.00	--	--	1.50	1.00	1.10

Model: 2020
 Groep: (hoofdgroep)
 Lijst van Wegen, voor rekenmethode Luchtkwaliteit - STACKS

Naam	Flux	Gas temp	Warmte	Hweg	Fboom	Totaal aantal	%Int(D)	%Int(A)	%Int(N)	%LV(D)	%LV(A)	%LV(N)	%MV(D)	%MV(A)	%MV(N)	%ZV(D)	%ZV(A)	%ZV(N)
0.100	285.0	0.000	0.00	1.00	3358.00	8.33	--	--	--	81.00	--	--	7.80	--	--	11.20	--	--
0.100	285.0	0.000	0.00	1.00	592.00	8.33	--	--	--	81.00	--	--	7.80	--	--	11.20	--	--
0.100	285.0	0.000	0.00	1.00	1975.00	8.33	--	--	--	81.00	--	--	7.80	--	--	11.20	--	--
0.100	285.0	0.000	0.00	1.00	436.00	8.33	--	--	--	81.00	--	--	7.80	--	--	11.20	--	--
0.100	285.0	0.000	0.00	1.00	12350.00	8.33	--	--	--	86.70	--	--	7.70	--	--	5.60	--	--

Model: 2020
 Groep: (hoofdgroep)
 Lijst van Wegen, voor rekenmethode Luchtkwaliteit - STACKS

Naam	%Bus(D)	%Bus(A)	%Bus(N)	LV(H1)	LV(H2)	LV(H3)	LV(H4)	LV(H5)	LV(H6)	LV(H7)	LV(H8)	LV(H9)	LV(H10)	LV(H11)	LV(H12)	LV(H13)
--	--	--	--	--	--	--	--	--	--	--	226.57	226.57	226.57	226.57	226.57	226.57
--	--	--	--	--	--	--	--	--	--	--	39.94	39.94	39.94	39.94	39.94	39.94
--	--	--	--	--	--	--	--	--	--	--	133.26	133.26	133.26	133.26	133.26	133.26
--	--	--	--	--	--	--	--	--	--	--	133.26	133.26	133.26	133.26	133.26	133.26
--	--	--	--	--	--	--	--	--	--	--	29.42	29.42	29.42	29.42	29.42	29.42
--	--	--	--	--	--	--	--	--	--	--	891.93	891.93	891.93	891.93	891.93	891.93

Model: 2020
Groep: (hoofdgroep)
Lijst van Wegen, voor rekenmethode Luchtkwaliteit - STACKS

Naam	LV(H14)	LV(H15)	LV(H16)	LV(H17)	LV(H18)	LV(H19)	LV(H20)	LV(H21)	LV(H22)	LV(H23)	LV(H24)	MV(H1)	MV(H2)	MV(H3)	MV(H4)	MV(H5)	MV(H6)
	226.57	226.57	226.57	226.57	226.57	226.57	--	--	--	--	--	--	--	--	--	--	--
	39.94	39.94	39.94	39.94	39.94	39.94	--	--	--	--	--	--	--	--	--	--	--
	133.26	133.26	133.26	133.26	133.26	133.26	--	--	--	--	--	--	--	--	--	--	--
	133.26	133.26	133.26	133.26	133.26	133.26	--	--	--	--	--	--	--	--	--	--	--
	29.42	29.42	29.42	29.42	29.42	29.42	--	--	--	--	--	--	--	--	--	--	--
	891.93	891.93	891.93	891.93	891.93	891.93	--	--	--	--	--	--	--	--	--	--	--

Model: 2020
Groep: (hoofdgroep)
Lijst van Wegen, voor rekenmethode Luchtkwaliteit - STACKS

Naam	MV(H7)	MV(H8)	MV(H9)	MV(H10)	MV(H11)	MV(H12)	MV(H13)	MV(H14)	MV(H15)	MV(H16)	MV(H17)	MV(H18)	MV(H19)	MV(H20)	MV(H21)
--	21.82	21.82	21.82	21.82	21.82	21.82	21.82	21.82	21.82	21.82	21.82	21.82	21.82	--	--
--	3.85	3.85	3.85	3.85	3.85	3.85	3.85	3.85	3.85	3.85	3.85	3.85	3.85	--	--
--	12.83	12.83	12.83	12.83	12.83	12.83	12.83	12.83	12.83	12.83	12.83	12.83	12.83	--	--
--	12.83	12.83	12.83	12.83	12.83	12.83	12.83	12.83	12.83	12.83	12.83	12.83	12.83	--	--
--	2.83	2.83	2.83	2.83	2.83	2.83	2.83	2.83	2.83	2.83	2.83	2.83	2.83	--	--
--	79.21	79.21	79.21	79.21	79.21	79.21	79.21	79.21	79.21	79.21	79.21	79.21	79.21	--	--

Model: 2020
Groep: (hoofdgroep)
Lijst van Wegen, voor rekenmethode Luchtkwaliteit - STACKS

Naam	MV(H22)	MV(H23)	MV(H24)	ZV(H1)	ZV(H2)	ZV(H3)	ZV(H4)	ZV(H5)	ZV(H6)	ZV(H7)	ZV(H8)	ZV(H9)	ZV(H10)	ZV(H11)	ZV(H12)	ZV(H13)
--	--	--	--	--	--	--	--	--	--	--	31.33	31.33	31.33	31.33	31.33	31.33
--	--	--	--	--	--	--	--	--	--	--	5.52	5.52	5.52	5.52	5.52	5.52
--	--	--	--	--	--	--	--	--	--	--	18.43	18.43	18.43	18.43	18.43	18.43
--	--	--	--	--	--	--	--	--	--	--	18.43	18.43	18.43	18.43	18.43	18.43
--	--	--	--	--	--	--	--	--	--	--	4.07	4.07	4.07	4.07	4.07	4.07
--	--	--	--	--	--	--	--	--	--	--	57.61	57.61	57.61	57.61	57.61	57.61

Model: 2020
Groep: (hoofdgroep)
Lijst van Wegen, voor rekenmethode Luchtkwaliteit - STACKS

Naam	ZV(H14)	ZV(H15)	ZV(H16)	ZV(H17)	ZV(H18)	ZV(H19)	ZV(H20)	ZV(H21)	ZV(H22)	ZV(H23)	ZV(H24)	Bus(H1)	Bus(H2)	Bus(H3)	Bus(H4)	Bus(H5)
	31.33	31.33	31.33	31.33	31.33	31.33	--	--	--	--	--	--	--	--	--	--
	5.52	5.52	5.52	5.52	5.52	5.52	--	--	--	--	--	--	--	--	--	--
	18.43	18.43	18.43	18.43	18.43	18.43	--	--	--	--	--	--	--	--	--	--
	18.43	18.43	18.43	18.43	18.43	18.43	--	--	--	--	--	--	--	--	--	--
	4.07	4.07	4.07	4.07	4.07	4.07	--	--	--	--	--	--	--	--	--	--
	57.61	57.61	57.61	57.61	57.61	57.61	--	--	--	--	--	--	--	--	--	--

Model: 2020
Groep: (hoofdgroep)
Lijst van Wegen, voor rekenmethode Luchtkwaliteit - STACKS

Naam	Bus (H6)	Bus (H7)	Bus (H8)	Bus (H9)	Bus (H10)	Bus (H11)	Bus (H12)	Bus (H13)	Bus (H14)	Bus (H15)	Bus (H16)	Bus (H17)	Bus (H18)	Bus (H19)	Bus (H20)	Bus (H21)
--	--	--	--	--	--	--	--	--	--	--	--	--	--	--	--	--
--	--	--	--	--	--	--	--	--	--	--	--	--	--	--	--	--
--	--	--	--	--	--	--	--	--	--	--	--	--	--	--	--	--
--	--	--	--	--	--	--	--	--	--	--	--	--	--	--	--	--
--	--	--	--	--	--	--	--	--	--	--	--	--	--	--	--	--
--	--	--	--	--	--	--	--	--	--	--	--	--	--	--	--	--

Model: 2020
Groep: (hoofdgroep)
Lijst van Wegen, voor rekenmethode Luchtkwaliteit - STACKS

Naam	Bus(H22)	Bus(H23)	Bus(H24)	Stagnatie.(H1)	Stagnatie.(H2)	Stagnatie.(H3)	Stagnatie.(H4)	Stagnatie.(H5)	Stagnatie.(H6)	Stagnatie.(H7)	Stagnatie.(H8)
--	--	--	--	0	0	0	0	0	0	0	0
--	--	--	--	0	0	0	0	0	0	0	0
--	--	--	--	0	0	0	0	0	0	0	0
--	--	--	--	0	0	0	0	0	0	0	0
--	--	--	--	0	0	0	0	0	0	0	0

Model: 2020
Groep: (hoofdgroep)
Lijst van Wegen, voor rekenmethode Luchtkwaliteit - STACKS

Naam	Stagnatie.(H9)	Stagnatie.(H10)	Stagnatie.(H11)	Stagnatie.(H12)	Stagnatie.(H13)	Stagnatie.(H14)	Stagnatie.(H15)	Stagnatie.(H16)	Stagnatie.(H17)
	0	0	0	0	0	0	0	0	0
	0	0	0	0	0	0	0	0	0
	0	0	0	0	0	0	0	0	0
	0	0	0	0	0	0	0	0	0
	0	0	0	0	0	0	0	0	0
	0	0	0	0	0	0	0	0	0

Model: 2020
Groep: (hoofdgroep)
Lijst van Wegen, voor rekenmethode Luchtkwaliteit - STACKS

Naam	Stagnatie.(H18)	Stagnatie.(H19)	Stagnatie.(H20)	Stagnatie.(H21)	Stagnatie.(H22)	Stagnatie.(H23)	Stagnatie.(H24)
	0	0	0	0	0	0	0
	0	0	0	0	0	0	0
	0	0	0	0	0	0	0
	0	0	0	0	0	0	0
	0	0	0	0	0	0	0
	0	0	0	0	0	0	0

Model: 2020
 Groep: (hoofdgroep)
 Lijst van Contourpunten, voor rekenmethode Luchtqualiteit - STACKS

Groep	ItemID	Grp.ID	Datum	Naam	Omschr.	Vorm	X	Y
--	458	0	13:28, 13 jul 2020	1	13-7-2020 1	Punt	231261.09	439724.17
--	459	0	13:28, 13 jul 2020	2	13-7-2020 2	Punt	231243.55	439677.18
--	460	0	13:28, 13 jul 2020	3	13-7-2020 3	Punt	231226.01	439630.19
--	461	0	13:28, 13 jul 2020	4	13-7-2020 4	Punt	231208.47	439583.21
--	462	0	13:28, 13 jul 2020	5	13-7-2020 5	Punt	231190.93	439536.22
--	463	0	13:28, 13 jul 2020	6	13-7-2020 6	Punt	231173.40	439489.23
--	464	0	13:28, 13 jul 2020	7	13-7-2020 7	Punt	231154.13	439442.94
--	465	0	13:28, 13 jul 2020	8	13-7-2020 8	Punt	231133.83	439397.08
--	466	0	13:28, 13 jul 2020	9	13-7-2020 9	Punt	231113.53	439351.21
--	467	0	13:28, 13 jul 2020	10	13-7-2020 10	Punt	231093.23	439305.35
--	468	0	13:28, 13 jul 2020	11	13-7-2020 11	Punt	231072.93	439259.49
--	469	0	13:28, 13 jul 2020	12	13-7-2020 12	Punt	231052.63	439213.62
--	470	0	13:28, 13 jul 2020	13	13-7-2020 13	Punt	231032.33	439167.76
--	471	0	13:28, 13 jul 2020	23	13-7-2020 23	Punt	230637.92	439341.05
--	472	0	13:28, 13 jul 2020	24	13-7-2020 24	Punt	230649.55	439389.84
--	473	0	13:28, 13 jul 2020	25	13-7-2020 25	Punt	230661.19	439438.63
--	474	0	13:28, 13 jul 2020	26	13-7-2020 26	Punt	230672.83	439487.41
--	475	0	13:28, 13 jul 2020	27	13-7-2020 27	Punt	230684.46	439536.20
--	476	0	13:28, 13 jul 2020	28	13-7-2020 28	Punt	230694.03	439585.43
--	477	0	13:28, 13 jul 2020	29	13-7-2020 29	Punt	230703.06	439634.76
--	478	0	13:28, 13 jul 2020	30	13-7-2020 30	Punt	230712.09	439684.09
--	479	0	13:28, 13 jul 2020	31	13-7-2020 31	Punt	230720.25	439733.52
--	480	0	13:28, 13 jul 2020	32	13-7-2020 32	Punt	230715.53	439783.42
--	481	0	13:28, 13 jul 2020	34	13-7-2020 34	Punt	230708.07	439882.58
--	482	0	13:28, 13 jul 2020	35	13-7-2020 35	Punt	230749.76	439910.22
--	483	0	13:28, 13 jul 2020	36	13-7-2020 36	Punt	230792.22	439936.92
--	484	0	13:28, 13 jul 2020	37	13-7-2020 37	Punt	230834.67	439963.62
--	485	0	13:28, 13 jul 2020	38	13-7-2020 38	Punt	230877.13	439990.32
--	486	0	13:28, 13 jul 2020	39	13-7-2020 39	Punt	230919.59	440017.02
--	487	0	13:28, 13 jul 2020	40	13-7-2020 40	Punt	230967.33	440019.36
--	488	0	13:28, 13 jul 2020	41	13-7-2020 41	Punt	231016.66	440010.29
--	489	0	13:28, 13 jul 2020	42	13-7-2020 42	Punt	231065.99	440001.23
--	490	0	13:28, 13 jul 2020	43	13-7-2020 43	Punt	231115.32	439992.15
--	491	0	13:28, 13 jul 2020	44	13-7-2020 44	Punt	231163.45	439978.17
--	492	0	13:28, 13 jul 2020	45	13-7-2020 45	Punt	231211.49	439964.05
--	493	0	13:28, 13 jul 2020	46	13-7-2020 46	Punt	231256.04	439977.09
--	494	0	13:28, 13 jul 2020	47	13-7-2020 47	Punt	231304.44	439963.95
--	495	0	13:28, 13 jul 2020	48	13-7-2020 48	Punt	231352.61	439950.31
--	496	0	13:28, 13 jul 2020	49	13-7-2020 49	Punt	231345.10	439906.10
--	497	0	13:28, 13 jul 2020	50	13-7-2020 50	Punt	231324.38	439860.44
--	498	0	13:28, 13 jul 2020	51	13-7-2020 51	Punt	231301.46	439815.83
--	499	0	13:28, 13 jul 2020	52	13-7-2020 52	Punt	231278.86	439771.06
--	500	0	13:28, 13 jul 2020	53	13-7-2020 53	Punt	231273.13	439713.53
--	501	0	13:28, 13 jul 2020	54	13-7-2020 54	Punt	231255.63	439666.65
--	502	0	13:28, 13 jul 2020	55	13-7-2020 55	Punt	231238.13	439619.78
--	503	0	13:28, 13 jul 2020	56	13-7-2020 56	Punt	231220.64	439572.90
--	504	0	13:28, 13 jul 2020	57	13-7-2020 57	Punt	231203.14	439526.02
--	505	0	13:28, 13 jul 2020	58	13-7-2020 58	Punt	231185.64	439479.15
--	506	0	13:28, 13 jul 2020	59	13-7-2020 59	Punt	231166.17	439433.07
--	507	0	13:28, 13 jul 2020	60	13-7-2020 60	Punt	231145.92	439387.32
--	508	0	13:28, 13 jul 2020	61	13-7-2020 61	Punt	231125.67	439341.56
--	509	0	13:28, 13 jul 2020	62	13-7-2020 62	Punt	231105.41	439295.81
--	510	0	13:28, 13 jul 2020	63	13-7-2020 63	Punt	231085.16	439250.06
--	511	0	13:28, 13 jul 2020	64	13-7-2020 64	Punt	231064.91	439204.30
--	512	0	13:28, 13 jul 2020	65	13-7-2020 65	Punt	231044.66	439158.55
--	513	0	13:28, 13 jul 2020	67	13-7-2020 67	Punt	230963.12	439142.48
--	514	0	13:28, 13 jul 2020	68	13-7-2020 68	Punt	230915.37	439157.44
--	515	0	13:28, 13 jul 2020	69	13-7-2020 69	Punt	230868.07	439173.75
--	516	0	13:28, 13 jul 2020	71	13-7-2020 71	Punt	230773.58	439206.69
--	517	0	13:28, 13 jul 2020	72	13-7-2020 72	Punt	230727.16	439225.33
--	518	0	13:28, 13 jul 2020	73	13-7-2020 73	Punt	230681.13	439244.93
--	519	0	13:28, 13 jul 2020	80	13-7-2020 80	Punt	230671.42	439546.17
--	520	0	13:28, 13 jul 2020	81	13-7-2020 81	Punt	230680.60	439595.36
--	521	0	13:28, 13 jul 2020	82	13-7-2020 82	Punt	230689.61	439644.58
--	522	0	13:28, 13 jul 2020	83	13-7-2020 83	Punt	230698.62	439693.79
--	523	0	13:28, 13 jul 2020	84	13-7-2020 84	Punt	230704.70	439743.22
--	524	0	13:28, 13 jul 2020	85	13-7-2020 85	Punt	230699.43	439792.98
--	525	0	13:28, 13 jul 2020	86	13-7-2020 86	Punt	230694.16	439842.74
--	526	0	13:28, 13 jul 2020	87	13-7-2020 87	Punt	230695.58	439891.60
--	527	0	13:28, 13 jul 2020	88	13-7-2020 88	Punt	230736.70	439919.72
--	528	0	13:28, 13 jul 2020	89	13-7-2020 89	Punt	230779.06	439946.36
--	529	0	13:28, 13 jul 2020	90	13-7-2020 90	Punt	230821.41	439973.00
--	530	0	13:28, 13 jul 2020	91	13-7-2020 91	Punt	230863.77	439999.64
--	531	0	13:28, 13 jul 2020	92	13-7-2020 92	Punt	230906.12	440026.28
--	532	0	13:28, 13 jul 2020	93	13-7-2020 93	Punt	230952.44	440037.35
--	533	0	13:28, 13 jul 2020	94	13-7-2020 94	Punt	231001.65	440028.30
--	534	0	13:28, 13 jul 2020	95	13-7-2020 95	Punt	231050.86	440019.26
--	535	0	13:28, 13 jul 2020	96	13-7-2020 96	Punt	231100.07	440010.21
--	536	0	13:28, 13 jul 2020	97	13-7-2020 97	Punt	231148.63	439998.42
--	537	0	13:28, 13 jul 2020	98	13-7-2020 98	Punt	231196.45	439983.71
--	538	0	13:28, 13 jul 2020	99	13-7-2020 99	Punt	231242.16	439996.10
--	539	0	13:28, 13 jul 2020	100	13-7-2020 100	Punt	231290.52	439983.27
--	540	0	13:28, 13 jul 2020	101	13-7-2020 101	Punt	231338.81	439970.16
--	541	0	13:28, 13 jul 2020	102	13-7-2020 102	Punt	231374.12	439941.59
--	542	0	13:28, 13 jul 2020	103	13-7-2020 103	Punt	231356.67	439895.13
--	543	0	13:28, 13 jul 2020	104	13-7-2020 104	Punt	231335.72	439849.71
--	544	0	13:28, 13 jul 2020	105	13-7-2020 105	Punt	231312.87	439805.20
--	545	0	13:28, 13 jul 2020	106	13-7-2020 106	Punt	231290.65	439760.40
--	546	0	13:28, 13 jul 2020	107	13-7-2020 107	Punt	231332.97	439789.62
--	547	0	13:28, 13 jul 2020	108	13-7-2020 108	Punt	231355.88	439834.23
--	548	0	13:28, 13 jul 2020	109	13-7-2020 109	Punt	231377.15	439879.61
--	549	0	13:28, 13 jul 2020	110	13-7-2020 110	Punt	231397.02	439925.64
--	550	0	13:28, 13 jul 2020	111	13-7-2020 111	Punt	231388.04	439972.70
--	551	0	13:28, 13 jul 2020	112	13-7-2020 112	Punt	231344.20	439994.60
--	552	0	13:28, 13 jul 2020	113	13-7-2020 113	Punt	231295.81	440007.74
--	553	0	13:28, 13 jul 2020	114	13-7-2020 114	Punt	231247.33	440020.40
--	554	0	13:28, 13 jul 2020	115	13-7-2020 115	Punt	231200.09	440008.75
--	555	0	13:28, 13 jul 2020	116	13-7-2020 116	Punt	231152.16	440023.49
--	556	0	13:28, 13 jul 2020	117	13-7-2020 117	Punt	231103.44	440035.01
--	557	0	13:28, 13 jul 2020	118	13-7-2020 118	Punt	231054.12	440044.08
--	558	0	13:28, 13 jul 2020	119	13-7-2020 119	Punt	231004.81	440053.14
--	559	0	13:28, 13 jul 2020	120	13-7-2020 120	Punt	230955.50	440062.21
--	560	0	13:28, 13 jul 2020	121	13-7-2020 121	Punt	230907.26	440056.49

Model: 2020
 Groep: (hoofdgroep)
 Lijst van Contourpunten, voor rekenmethode Luchtqualiteit - STACKS

Groep	ItemID	Grp.ID	Datum	Naam	Omschr.	Vorm	X	Y
--	561	0	13-28, 13 jul 2020	122	13-7-2020 122	Punt	230864.80	440029.82
--	562	0	13-28, 13 jul 2020	123	13-7-2020 123	Punt	230822.36	440003.13
--	563	0	13-28, 13 jul 2020	124	13-7-2020 124	Punt	230779.91	439976.43
--	564	0	13-28, 13 jul 2020	125	13-7-2020 125	Punt	230737.47	439949.74
--	565	0	13-28, 13 jul 2020	126	13-7-2020 126	Punt	230695.02	439923.05
--	566	0	13-28, 13 jul 2020	127	13-7-2020 127	Punt	230666.40	439884.24
--	567	0	13-28, 13 jul 2020	128	13-7-2020 128	Punt	230669.91	439834.35
--	568	0	13-28, 13 jul 2020	129	13-7-2020 129	Punt	230675.19	439784.49
--	569	0	13-28, 13 jul 2020	131	13-7-2020 131	Punt	230671.63	439685.20
--	570	0	13-28, 13 jul 2020	132	13-7-2020 132	Punt	230662.60	439635.88
--	571	0	13-28, 13 jul 2020	133	13-7-2020 133	Punt	230653.57	439586.56
--	572	0	13-28, 13 jul 2020	134	13-7-2020 134	Punt	230643.63	439537.43
--	573	0	13-28, 13 jul 2020	135	13-7-2020 135	Punt	230632.00	439488.66
--	574	0	13-28, 13 jul 2020	136	13-7-2020 136	Punt	230620.37	439439.88
--	575	0	13-28, 13 jul 2020	137	13-7-2020 137	Punt	230608.74	439391.11
--	576	0	13-28, 13 jul 2020	138	13-7-2020 138	Punt	230597.10	439342.34
--	577	0	13-28, 13 jul 2020	139	13-7-2020 139	Punt	230586.59	439293.39
--	578	0	13-28, 13 jul 2020	140	13-7-2020 140	Punt	230607.92	439250.53
--	579	0	13-28, 13 jul 2020	141	13-7-2020 141	Punt	230653.34	439229.59
--	580	0	13-28, 13 jul 2020	142	13-7-2020 142	Punt	230699.47	439209.95
--	581	0	13-28, 13 jul 2020	143	13-7-2020 143	Punt	230745.62	439190.35
--	582	0	13-28, 13 jul 2020	144	13-7-2020 144	Punt	230792.84	439173.50
--	583	0	13-28, 13 jul 2020	145	13-7-2020 145	Punt	230840.19	439157.00
--	584	0	13-28, 13 jul 2020	146	13-7-2020 146	Punt	230887.53	439140.49
--	585	0	13-28, 13 jul 2020	147	13-7-2020 147	Punt	230935.22	439125.02
--	586	0	13-28, 13 jul 2020	148	13-7-2020 148	Punt	230983.07	439110.04
--	587	0	13-28, 13 jul 2020	149	13-7-2020 149	Punt	231031.87	439105.62
--	588	0	13-28, 13 jul 2020	150	13-7-2020 150	Punt	231064.45	439141.50
--	589	0	13-28, 13 jul 2020	151	13-7-2020 151	Punt	231084.75	439187.35
--	590	0	13-28, 13 jul 2020	152	13-7-2020 152	Punt	231105.04	439233.20
--	591	0	13-28, 13 jul 2020	153	13-7-2020 153	Punt	231125.33	439279.05
--	592	0	13-28, 13 jul 2020	154	13-7-2020 154	Punt	231145.63	439324.90
--	593	0	13-28, 13 jul 2020	155	13-7-2020 155	Punt	231165.92	439370.75
--	594	0	13-28, 13 jul 2020	156	13-7-2020 156	Punt	231186.22	439416.60
--	595	0	13-28, 13 jul 2020	157	13-7-2020 157	Punt	231206.15	439462.60
--	596	0	13-28, 13 jul 2020	158	13-7-2020 158	Punt	231223.68	439509.57
--	597	0	13-28, 13 jul 2020	159	13-7-2020 159	Punt	231241.22	439556.55
--	598	0	13-28, 13 jul 2020	160	13-7-2020 160	Punt	231258.75	439603.52
--	599	0	13-28, 13 jul 2020	161	13-7-2020 161	Punt	231276.28	439650.50
--	600	0	13-28, 13 jul 2020	162	13-7-2020 162	Punt	231293.82	439697.47
--	601	0	13-28, 13 jul 2020	163	13-7-2020 163	Punt	231311.35	439744.45
--	602	0	13-28, 13 jul 2020	164	13-7-2020 164	Punt	231376.94	439765.78
--	603	0	13-28, 13 jul 2020	165	13-7-2020 165	Punt	231399.92	439810.53
--	604	0	13-28, 13 jul 2020	166	13-7-2020 166	Punt	231421.40	439856.01
--	605	0	13-28, 13 jul 2020	167	13-7-2020 167	Punt	231441.55	439902.11
--	606	0	13-28, 13 jul 2020	168	13-7-2020 168	Punt	231449.01	439951.29
--	607	0	13-28, 13 jul 2020	169	13-7-2020 169	Punt	231431.96	439998.05
--	608	0	13-28, 13 jul 2020	170	13-7-2020 170	Punt	231394.31	440030.63
--	609	0	13-28, 13 jul 2020	171	13-7-2020 171	Punt	231346.46	440045.80
--	610	0	13-28, 13 jul 2020	172	13-7-2020 172	Punt	231297.90	440058.98
--	611	0	13-28, 13 jul 2020	173	13-7-2020 173	Punt	231249.06	440070.82
--	612	0	13-28, 13 jul 2020	174	13-7-2020 174	Punt	231199.69	440064.18
--	613	0	13-28, 13 jul 2020	175	13-7-2020 175	Punt	231151.24	440076.08
--	614	0	13-28, 13 jul 2020	176	13-7-2020 176	Punt	231101.97	440086.12
--	615	0	13-28, 13 jul 2020	177	13-7-2020 177	Punt	231052.49	440095.22
--	616	0	13-28, 13 jul 2020	178	13-7-2020 178	Punt	231003.00	440104.31
--	617	0	13-28, 13 jul 2020	179	13-7-2020 179	Punt	230953.52	440113.38
--	618	0	13-28, 13 jul 2020	180	13-7-2020 180	Punt	230903.86	440109.93
--	619	0	13-28, 13 jul 2020	181	13-7-2020 181	Punt	230859.89	440085.80
--	620	0	13-28, 13 jul 2020	182	13-7-2020 182	Punt	230817.30	440059.01
--	621	0	13-28, 13 jul 2020	183	13-7-2020 183	Punt	230774.71	440032.23
--	622	0	13-28, 13 jul 2020	184	13-7-2020 184	Punt	230732.12	440005.44
--	623	0	13-28, 13 jul 2020	185	13-7-2020 185	Punt	230689.54	439978.66
--	624	0	13-28, 13 jul 2020	186	13-7-2020 186	Punt	230647.93	439950.50
--	625	0	13-28, 13 jul 2020	187	13-7-2020 187	Punt	230620.89	439908.70
--	626	0	13-28, 13 jul 2020	188	13-7-2020 188	Punt	230617.03	439859.00
--	627	0	13-28, 13 jul 2020	189	13-7-2020 189	Punt	230622.32	439808.97
--	628	0	13-28, 13 jul 2020	190	13-7-2020 190	Punt	230627.61	439758.94
--	629	0	13-28, 13 jul 2020	191	13-7-2020 191	Punt	230625.18	439709.14
--	630	0	13-28, 13 jul 2020	192	13-7-2020 192	Punt	230616.12	439659.65
--	631	0	13-28, 13 jul 2020	193	13-7-2020 193	Punt	230607.06	439610.16
--	632	0	13-28, 13 jul 2020	194	13-7-2020 194	Punt	230597.76	439560.72
--	633	0	13-28, 13 jul 2020	195	13-7-2020 195	Punt	230586.11	439511.78
--	634	0	13-28, 13 jul 2020	196	13-7-2020 196	Punt	230574.44	439462.84
--	635	0	13-28, 13 jul 2020	197	13-7-2020 197	Punt	230562.77	439413.90
--	636	0	13-28, 13 jul 2020	198	13-7-2020 198	Punt	230551.10	439364.96
--	637	0	13-28, 13 jul 2020	200	13-7-2020 200	Punt	230539.53	439266.23
--	638	0	13-28, 13 jul 2020	201	13-7-2020 201	Punt	230563.66	439222.71
--	639	0	13-28, 13 jul 2020	202	13-7-2020 202	Punt	230605.50	439195.61
--	640	0	13-28, 13 jul 2020	203	13-7-2020 203	Punt	230651.79	439175.91
--	641	0	13-28, 13 jul 2020	204	13-7-2020 204	Punt	230698.08	439156.20
--	642	0	13-28, 13 jul 2020	205	13-7-2020 205	Punt	230744.70	439137.33
--	643	0	13-28, 13 jul 2020	206	13-7-2020 206	Punt	230792.21	439120.77
--	644	0	13-28, 13 jul 2020	207	13-7-2020 207	Punt	230839.72	439104.21
--	645	0	13-28, 13 jul 2020	208	13-7-2020 208	Punt	230887.25	439087.73
--	646	0	13-28, 13 jul 2020	209	13-7-2020 209	Punt	230935.24	439072.62
--	647	0	13-28, 13 jul 2020	210	13-7-2020 210	Punt	230983.27	439057.62
--	648	0	13-28, 13 jul 2020	211	13-7-2020 211	Punt	231032.94	439054.27
--	649	0	13-28, 13 jul 2020	212	13-7-2020 212	Punt	231078.06	439075.29
--	650	0	13-28, 13 jul 2020	214	13-7-2020 214	Punt	231127.94	439161.39
--	651	0	13-28, 13 jul 2020	215	13-7-2020 215	Punt	231148.30	439207.40
--	652	0	13-28, 13 jul 2020	216	13-7-2020 216	Punt	231168.66	439253.41
--	653	0	13-28, 13 jul 2020	217	13-7-2020 217	Punt	231189.03	439299.41
--	654	0	13-28, 13 jul 2020	218	13-7-2020 218	Punt	231209.39	439345.42
--	655	0	13-28, 13 jul 2020	219	13-7-2020 219	Punt	231229.76	439391.43
--	656	0	13-28, 13 jul 2020	220	13-7-2020 220	Punt	231250.07	439437.45
--	657	0	13-28, 13 jul 2020	221	13-7-2020 221	Punt	231267.72	439484.57
--	658	0	13-28, 13 jul 2020	222	13-7-2020 222	Punt	231285.31	439531.70
--	659	0	13-28, 13 jul 2020	223	13-7-2020 223	Punt	231302.91	439578.84
--	660	0	13-28, 13 jul 2020	224	13-7-2020 224	Punt	231320.50	439625.97
--	661	0	13-28, 13 jul 2020	225	13-7-2020 225	Punt	231338.09	439673.11
--	662	0	13-28, 13 jul 2020	226	13-7-2020 226	Punt	231355.69	439720.25
--	663	0	13-28, 13 jul 2020	227	13-7-2020 227	Punt	231385.14	439656.17

Model: 2020
 Groep: (hoofdgroep)
 Lijst van Contourpunten, voor rekenmethode Luchtqualiteit - STACKS

Groep	ItemID	Grp.ID	Datum	Naam	Omschr.	Vorm	X	Y
--	664	0	13-28, 13 jul 2020	228	13-7-2020 228	Punt	231402.79	439703.46
--	665	0	13-28, 13 jul 2020	229	13-7-2020 229	Punt	231424.51	439748.97
--	666	0	13-28, 13 jul 2020	230	13-7-2020 230	Punt	231447.57	439793.87
--	667	0	13-28, 13 jul 2020	231	13-7-2020 231	Punt	231468.82	439839.64
--	668	0	13-28, 13 jul 2020	232	13-7-2020 232	Punt	231488.99	439885.90
--	669	0	13-28, 13 jul 2020	233	13-7-2020 233	Punt	231499.45	439935.04
--	670	0	13-28, 13 jul 2020	234	13-7-2020 234	Punt	231493.09	439984.86
--	671	0	13-28, 13 jul 2020	235	13-7-2020 235	Punt	231470.69	440029.81
--	672	0	13-28, 13 jul 2020	236	13-7-2020 236	Punt	231434.62	440064.77
--	673	0	13-28, 13 jul 2020	237	13-7-2020 237	Punt	231389.11	440086.01
--	674	0	13-28, 13 jul 2020	238	13-7-2020 238	Punt	231340.40	440099.25
--	675	0	13-28, 13 jul 2020	239	13-7-2020 239	Punt	231291.69	440112.47
--	676	0	13-28, 13 jul 2020	240	13-7-2020 240	Punt	231242.17	440121.41
--	677	0	13-28, 13 jul 2020	241	13-7-2020 241	Punt	231192.10	440116.14
--	678	0	13-28, 13 jul 2020	242	13-7-2020 242	Punt	231143.47	440129.31
--	679	0	13-28, 13 jul 2020	243	13-7-2020 243	Punt	231093.83	440138.45
--	680	0	13-28, 13 jul 2020	244	13-7-2020 244	Punt	231044.18	440147.58
--	681	0	13-28, 13 jul 2020	245	13-7-2020 245	Punt	230994.54	440156.70
--	682	0	13-28, 13 jul 2020	246	13-7-2020 246	Punt	230944.73	440164.70
--	683	0	13-28, 13 jul 2020	247	13-7-2020 247	Punt	230894.78	440159.45
--	684	0	13-28, 13 jul 2020	248	13-7-2020 248	Punt	230849.25	440138.17
--	685	0	13-28, 13 jul 2020	249	13-7-2020 249	Punt	230806.52	440111.30
--	686	0	13-28, 13 jul 2020	250	13-7-2020 250	Punt	230763.79	440084.43
--	687	0	13-28, 13 jul 2020	251	13-7-2020 251	Punt	230721.06	440057.55
--	688	0	13-28, 13 jul 2020	252	13-7-2020 252	Punt	230678.34	440030.68
--	689	0	13-28, 13 jul 2020	253	13-7-2020 253	Punt	230635.61	440003.80
--	690	0	13-28, 13 jul 2020	254	13-7-2020 254	Punt	230598.22	439970.25
--	691	0	13-28, 13 jul 2020	255	13-7-2020 255	Punt	230574.02	439926.22
--	692	0	13-28, 13 jul 2020	256	13-7-2020 256	Punt	230565.71	439876.67
--	693	0	13-28, 13 jul 2020	257	13-7-2020 257	Punt	230570.19	439826.42
--	694	0	13-28, 13 jul 2020	258	13-7-2020 258	Punt	230575.51	439776.22
--	695	0	13-28, 13 jul 2020	259	13-7-2020 259	Punt	230577.46	439726.14
--	696	0	13-28, 13 jul 2020	260	13-7-2020 260	Punt	230568.37	439676.49
--	697	0	13-28, 13 jul 2020	261	13-7-2020 261	Punt	230559.28	439626.84
--	698	0	13-28, 13 jul 2020	262	13-7-2020 262	Punt	230550.18	439577.19
--	699	0	13-28, 13 jul 2020	263	13-7-2020 263	Punt	230538.59	439528.06
--	700	0	13-28, 13 jul 2020	264	13-7-2020 264	Punt	230526.88	439478.96
--	701	0	13-28, 13 jul 2020	265	13-7-2020 265	Punt	230515.17	439429.87
--	702	0	13-28, 13 jul 2020	266	13-7-2020 266	Punt	230503.46	439380.77
--	703	0	13-28, 13 jul 2020	268	13-7-2020 268	Punt	230486.70	439281.67
--	704	0	13-28, 13 jul 2020	269	13-7-2020 269	Punt	230498.25	439232.81
--	705	0	13-28, 13 jul 2020	270	13-7-2020 270	Punt	230525.28	439190.48
--	706	0	13-28, 13 jul 2020	271	13-7-2020 271	Punt	230564.76	439159.44
--	707	0	13-28, 13 jul 2020	272	13-7-2020 272	Punt	230610.88	439138.98
--	708	0	13-28, 13 jul 2020	273	13-7-2020 273	Punt	230657.33	439119.21
--	709	0	13-28, 13 jul 2020	274	13-7-2020 274	Punt	230703.77	439099.44
--	710	0	13-28, 13 jul 2020	275	13-7-2020 275	Punt	230751.17	439082.13
--	711	0	13-28, 13 jul 2020	276	13-7-2020 276	Punt	230798.83	439065.51
--	712	0	13-28, 13 jul 2020	277	13-7-2020 277	Punt	230846.50	439048.90
--	713	0	13-28, 13 jul 2020	278	13-7-2020 278	Punt	230894.41	439033.02
--	714	0	13-28, 13 jul 2020	279	13-7-2020 279	Punt	230942.58	439017.93
--	715	0	13-28, 13 jul 2020	280	13-7-2020 280	Punt	230991.15	439004.40
--	716	0	13-28, 13 jul 2020	281	13-7-2020 281	Punt	231041.40	439004.95
--	717	0	13-28, 13 jul 2020	282	13-7-2020 282	Punt	231088.63	439022.08
--	718	0	13-28, 13 jul 2020	283	13-7-2020 283	Punt	231127.56	439053.82
--	719	0	13-28, 13 jul 2020	285	13-7-2020 285	Punt	231174.37	439142.75
--	720	0	13-28, 13 jul 2020	286	13-7-2020 286	Punt	231194.80	439188.91
--	721	0	13-28, 13 jul 2020	287	13-7-2020 287	Punt	231215.23	439235.07
--	722	0	13-28, 13 jul 2020	288	13-7-2020 288	Punt	231235.66	439281.22
--	723	0	13-28, 13 jul 2020	289	13-7-2020 289	Punt	231256.09	439327.38
--	724	0	13-28, 13 jul 2020	290	13-7-2020 290	Punt	231276.52	439373.54
--	725	0	13-28, 13 jul 2020	291	13-7-2020 291	Punt	231296.82	439419.75
--	726	0	13-28, 13 jul 2020	292	13-7-2020 292	Punt	231314.54	439467.01
--	727	0	13-28, 13 jul 2020	293	13-7-2020 293	Punt	231332.19	439514.30
--	728	0	13-28, 13 jul 2020	294	13-7-2020 294	Punt	231349.84	439561.59
--	729	0	13-28, 13 jul 2020	295	13-7-2020 295	Punt	231367.49	439608.88
--	730	0	13-28, 13 jul 2020	296	13-7-2020 296	Punt	231360.12	439446.16
--	731	0	13-28, 13 jul 2020	297	13-7-2020 297	Punt	231342.28	439398.79
--	732	0	13-28, 13 jul 2020	298	13-7-2020 298	Punt	231321.87	439352.47
--	733	0	13-28, 13 jul 2020	299	13-7-2020 299	Punt	231301.38	439306.19
--	734	0	13-28, 13 jul 2020	300	13-7-2020 300	Punt	231280.90	439259.90
--	735	0	13-28, 13 jul 2020	301	13-7-2020 301	Punt	231260.41	439213.62
--	736	0	13-28, 13 jul 2020	302	13-7-2020 302	Punt	231239.92	439167.33
--	737	0	13-28, 13 jul 2020	303	13-7-2020 303	Punt	231219.44	439121.05
--	738	0	13-28, 13 jul 2020	305	13-7-2020 305	Punt	231173.55	439031.13
--	739	0	13-28, 13 jul 2020	306	13-7-2020 306	Punt	231138.09	438995.31
--	740	0	13-28, 13 jul 2020	307	13-7-2020 307	Punt	231094.76	438969.32
--	741	0	13-28, 13 jul 2020	308	13-7-2020 308	Punt	231046.32	438955.11
--	742	0	13-28, 13 jul 2020	309	13-7-2020 309	Punt	230995.88	438953.50
--	743	0	13-28, 13 jul 2020	310	13-7-2020 310	Punt	230946.55	438964.29
--	744	0	13-28, 13 jul 2020	311	13-7-2020 311	Punt	230898.24	438979.42
--	745	0	13-28, 13 jul 2020	312	13-7-2020 312	Punt	230850.00	438994.73
--	746	0	13-28, 13 jul 2020	313	13-7-2020 313	Punt	230802.20	439011.39
--	747	0	13-28, 13 jul 2020	314	13-7-2020 314	Punt	230754.41	439028.05
--	748	0	13-28, 13 jul 2020	315	13-7-2020 315	Punt	230706.61	439044.71
--	749	0	13-28, 13 jul 2020	316	13-7-2020 316	Punt	230659.76	439063.83
--	750	0	13-28, 13 jul 2020	317	13-7-2020 317	Punt	230613.18	439083.66
--	751	0	13-28, 13 jul 2020	318	13-7-2020 318	Punt	230566.61	439103.48
--	752	0	13-28, 13 jul 2020	319	13-7-2020 319	Punt	230521.97	439127.11
--	753	0	13-28, 13 jul 2020	320	13-7-2020 320	Punt	230484.57	439161.01
--	754	0	13-28, 13 jul 2020	321	13-7-2020 321	Punt	230456.82	439203.17
--	755	0	13-28, 13 jul 2020	322	13-7-2020 322	Punt	230440.46	439250.91
--	756	0	13-28, 13 jul 2020	323	13-7-2020 323	Punt	230436.61	439301.24
--	757	0	13-28, 13 jul 2020	325	13-7-2020 325	Punt	230456.72	439400.30
--	758	0	13-28, 13 jul 2020	326	13-7-2020 326	Punt	230468.46	439449.53
--	759	0	13-28, 13 jul 2020	327	13-7-2020 327	Punt	230480.20	439498.77
--	760	0	13-28, 13 jul 2020	328	13-7-2020 328	Punt	230491.95	439548.01
--	761	0	13-28, 13 jul 2020	329	13-7-2020 329	Punt	230503.06	439597.38
--	762	0	13-28, 13 jul 2020	330	13-7-2020 330	Punt	230512.17	439647.17
--	763	0	13-28, 13 jul 2020	331	13-7-2020 331	Punt	230521.29	439696.96
--	764	0	13-28, 13 jul 2020	332	13-7-2020 332	Punt	230528.29	439746.89
--	765	0	13-28, 13 jul 2020	333	13-7-2020 333	Punt	230523.00	439797.23
--	766	0	13-28, 13 jul 2020	334	13-7-2020 334	Punt	230517.68	439847.56

Model: 2020
 Groep: (hoofdgroep)
 Lijst van Contourpunten, voor rekenmethode Luchtkwaliteit - STACKS

Groep	ItemID	Grp.ID	Datum	Naam	Omschr.	Vorm	X	Y
--	767	0	13:28, 13 jul 2020	335	13-7-2020 335	Punt	230516.81	439898.06
--	768	0	13:28, 13 jul 2020	336	13-7-2020 336	Punt	230528.42	439947.19
--	769	0	13:28, 13 jul 2020	337	13-7-2020 337	Punt	230552.00	439991.82
--	770	0	13:28, 13 jul 2020	338	13-7-2020 338	Punt	230585.97	440029.16
--	771	0	13:28, 13 jul 2020	339	13-7-2020 339	Punt	230627.60	440057.84
--	772	0	13:28, 13 jul 2020	340	13-7-2020 340	Punt	230670.45	440084.79
--	773	0	13:28, 13 jul 2020	341	13-7-2020 341	Punt	230713.30	440111.74
--	774	0	13:28, 13 jul 2020	342	13-7-2020 342	Punt	230756.14	440138.68
--	775	0	13:28, 13 jul 2020	343	13-7-2020 343	Punt	230798.99	440165.63
--	776	0	13:28, 13 jul 2020	344	13-7-2020 344	Punt	230842.15	440192.05
--	777	0	13:28, 13 jul 2020	345	13-7-2020 345	Punt	230889.43	440209.73
--	778	0	13:28, 13 jul 2020	346	13-7-2020 346	Punt	230939.64	440215.00
--	779	0	13:28, 13 jul 2020	347	13-7-2020 347	Punt	230989.75	440208.42
--	780	0	13:28, 13 jul 2020	348	13-7-2020 348	Punt	231039.54	440199.27
--	781	0	13:28, 13 jul 2020	349	13-7-2020 349	Punt	231089.32	440190.12
--	782	0	13:28, 13 jul 2020	350	13-7-2020 350	Punt	231139.10	440180.97
--	783	0	13:28, 13 jul 2020	351	13-7-2020 351	Punt	231188.30	440169.31
--	784	0	13:28, 13 jul 2020	352	13-7-2020 352	Punt	231238.56	440171.43
--	785	0	13:28, 13 jul 2020	353	13-7-2020 353	Punt	231288.63	440165.04
--	786	0	13:28, 13 jul 2020	354	13-7-2020 354	Punt	231337.49	440151.85
--	787	0	13:28, 13 jul 2020	355	13-7-2020 355	Punt	231386.34	440138.59
--	788	0	13:28, 13 jul 2020	356	13-7-2020 356	Punt	231434.23	440122.46
--	789	0	13:28, 13 jul 2020	357	13-7-2020 357	Punt	231476.90	440095.51
--	790	0	13:28, 13 jul 2020	358	13-7-2020 358	Punt	231511.51	440058.76
--	791	0	13:28, 13 jul 2020	359	13-7-2020 359	Punt	231555.70	440014.46
--	792	0	13:28, 13 jul 2020	360	13-7-2020 360	Punt	231548.13	439965.54
--	793	0	13:28, 13 jul 2020	361	13-7-2020 361	Punt	231547.87	439915.06
--	794	0	13:28, 13 jul 2020	362	13-7-2020 362	Punt	231535.00	439866.25
--	795	0	13:28, 13 jul 2020	363	13-7-2020 363	Punt	231514.74	439819.86
--	796	0	13:28, 13 jul 2020	364	13-7-2020 364	Punt	231493.53	439773.92
--	797	0	13:28, 13 jul 2020	365	13-7-2020 365	Punt	231470.41	439728.90
--	798	0	13:28, 13 jul 2020	366	13-7-2020 366	Punt	231448.62	439683.27
--	799	0	13:28, 13 jul 2020	367	13-7-2020 367	Punt	231430.92	439635.85
--	800	0	13:28, 13 jul 2020	368	13-7-2020 368	Punt	231413.22	439588.42
--	801	0	13:28, 13 jul 2020	369	13-7-2020 369	Punt	231395.52	439541.00
--	802	0	13:28, 13 jul 2020	370	13-7-2020 370	Punt	231377.82	439493.58
--	803	0	13:28, 13 jul 2020	371	13-7-2020 371	Punt	231491.42	439654.94
--	804	0	13:28, 13 jul 2020	372	13-7-2020 372	Punt	231473.89	439607.98
--	805	0	13:28, 13 jul 2020	373	13-7-2020 373	Punt	231456.36	439561.02
--	806	0	13:28, 13 jul 2020	374	13-7-2020 374	Punt	231438.84	439514.06
--	807	0	13:28, 13 jul 2020	375	13-7-2020 375	Punt	231421.31	439467.10
--	808	0	13:28, 13 jul 2020	376	13-7-2020 376	Punt	231403.78	439420.15
--	809	0	13:28, 13 jul 2020	377	13-7-2020 377	Punt	231385.80	439373.37
--	810	0	13:28, 13 jul 2020	378	13-7-2020 378	Punt	231365.51	439327.54
--	811	0	13:28, 13 jul 2020	379	13-7-2020 379	Punt	231345.23	439281.71
--	812	0	13:28, 13 jul 2020	380	13-7-2020 380	Punt	231324.94	439235.87
--	813	0	13:28, 13 jul 2020	381	13-7-2020 381	Punt	231304.65	439190.04
--	814	0	13:28, 13 jul 2020	382	13-7-2020 382	Punt	231284.37	439144.21
--	815	0	13:28, 13 jul 2020	383	13-7-2020 383	Punt	231264.08	439098.37
--	816	0	13:28, 13 jul 2020	385	13-7-2020 385	Punt	231219.28	439008.92
--	817	0	13:28, 13 jul 2020	386	13-7-2020 386	Punt	231186.58	438971.05
--	818	0	13:28, 13 jul 2020	387	13-7-2020 387	Punt	231146.98	438940.45
--	819	0	13:28, 13 jul 2020	388	13-7-2020 388	Punt	231102.10	438918.34
--	820	0	13:28, 13 jul 2020	389	13-7-2020 389	Punt	231053.70	438905.63
--	821	0	13:28, 13 jul 2020	390	13-7-2020 390	Punt	231003.74	438902.82
--	822	0	13:28, 13 jul 2020	391	13-7-2020 391	Punt	230954.23	438910.00
--	823	0	13:28, 13 jul 2020	392	13-7-2020 392	Punt	230906.26	438924.51
--	824	0	13:28, 13 jul 2020	393	13-7-2020 393	Punt	230858.43	438939.49
--	825	0	13:28, 13 jul 2020	394	13-7-2020 394	Punt	230810.91	438955.40
--	826	0	13:28, 13 jul 2020	395	13-7-2020 395	Punt	230763.58	438971.90
--	827	0	13:28, 13 jul 2020	396	13-7-2020 396	Punt	230716.25	438988.40
--	828	0	13:28, 13 jul 2020	397	13-7-2020 397	Punt	230669.15	439005.50
--	829	0	13:28, 13 jul 2020	398	13-7-2020 398	Punt	230623.03	439025.12
--	830	0	13:28, 13 jul 2020	399	13-7-2020 399	Punt	230576.91	439044.76
--	831	0	13:28, 13 jul 2020	400	13-7-2020 400	Punt	230530.85	439064.53
--	832	0	13:28, 13 jul 2020	401	13-7-2020 401	Punt	230487.86	439090.12
--	833	0	13:28, 13 jul 2020	402	13-7-2020 402	Punt	230450.76	439123.69
--	834	0	13:28, 13 jul 2020	403	13-7-2020 403	Punt	230421.12	439164.00
--	835	0	13:28, 13 jul 2020	404	13-7-2020 404	Punt	230400.10	439209.41
--	836	0	13:28, 13 jul 2020	405	13-7-2020 405	Punt	230388.52	439258.08
--	837	0	13:28, 13 jul 2020	406	13-7-2020 406	Punt	230386.89	439308.10
--	838	0	13:28, 13 jul 2020	407	13-7-2020 407	Punt	230395.10	439357.47
--	839	0	13:28, 13 jul 2020	408	13-7-2020 408	Punt	230406.73	439406.22
--	840	0	13:28, 13 jul 2020	409	13-7-2020 409	Punt	230418.36	439454.98
--	841	0	13:28, 13 jul 2020	410	13-7-2020 410	Punt	230429.99	439503.73
--	842	0	13:28, 13 jul 2020	411	13-7-2020 411	Punt	230441.61	439552.49
--	843	0	13:28, 13 jul 2020	412	13-7-2020 412	Punt	230452.94	439601.30
--	844	0	13:28, 13 jul 2020	413	13-7-2020 413	Punt	230461.97	439650.61
--	845	0	13:28, 13 jul 2020	414	13-7-2020 414	Punt	230471.00	439699.91
--	846	0	13:28, 13 jul 2020	415	13-7-2020 415	Punt	230477.79	439749.39
--	847	0	13:28, 13 jul 2020	416	13-7-2020 416	Punt	230472.51	439799.24
--	848	0	13:28, 13 jul 2020	417	13-7-2020 417	Punt	230467.25	439849.08
--	849	0	13:28, 13 jul 2020	418	13-7-2020 418	Punt	230466.69	439899.12
--	850	0	13:28, 13 jul 2020	419	13-7-2020 419	Punt	230476.08	439948.27
--	851	0	13:28, 13 jul 2020	420	13-7-2020 420	Punt	230495.07	439994.56
--	852	0	13:28, 13 jul 2020	421	13-7-2020 421	Punt	230522.90	440036.14
--	853	0	13:28, 13 jul 2020	422	13-7-2020 422	Punt	230558.47	440071.34
--	854	0	13:28, 13 jul 2020	423	13-7-2020 423	Punt	230599.90	440099.48
--	855	0	13:28, 13 jul 2020	424	13-7-2020 424	Punt	230642.33	440126.17
--	856	0	13:28, 13 jul 2020	425	13-7-2020 425	Punt	230684.75	440152.85
--	857	0	13:28, 13 jul 2020	426	13-7-2020 426	Punt	230727.18	440179.54
--	858	0	13:28, 13 jul 2020	427	13-7-2020 427	Punt	230769.61	440206.22
--	859	0	13:28, 13 jul 2020	428	13-7-2020 428	Punt	230812.19	440232.66
--	860	0	13:28, 13 jul 2020	429	13-7-2020 429	Punt	230857.99	440252.81
--	861	0	13:28, 13 jul 2020	430	13-7-2020 430	Punt	230906.88	440263.42
--	862	0	13:28, 13 jul 2020	431	13-7-2020 431	Punt	230956.91	440264.09
--	863	0	13:28, 13 jul 2020	432	13-7-2020 432	Punt	231006.38	440256.20
--	864	0	13:28, 13 jul 2020	433	13-7-2020 433	Punt	231055.68	440247.14
--	865	0	13:28, 13 jul 2020	434	13-7-2020 434	Punt	231104.97	440238.08
--	866	0	13:28, 13 jul 2020	435	13-7-2020 435	Punt	231154.27	440229.92
--	867	0	13:28, 13 jul 2020	436	13-7-2020 436	Punt	231203.23	440218.95
--	868	0	13:28, 13 jul 2020	437	13-7-2020 437	Punt	231253.22	440221.01
--	869	0	13:28, 13 jul 2020	438	13-7-2020 438	Punt	231302.63	440213.11

Model: 2020
 Groep: (hoofdgroep)
 Lijst van Contourpunten, voor rekenmethode Luchtqualiteit - STACKS

Groep	ItemID	Grp.ID	Datum	Naam	Omschr.	Vorm	X	Y
--	870	0	13:28, 13 jul 2020	439	13-7-2020 439	Punt	231351.01	440199.99
--	871	0	13:28, 13 jul 2020	440	13-7-2020 440	Punt	231399.38	440186.86
--	872	0	13:28, 13 jul 2020	441	13-7-2020 441	Punt	231447.02	440171.48
--	873	0	13:28, 13 jul 2020	442	13-7-2020 442	Punt	231490.96	440147.54
--	874	0	13:28, 13 jul 2020	443	13-7-2020 443	Punt	231529.17	440115.23
--	875	0	13:28, 13 jul 2020	444	13-7-2020 444	Punt	231560.23	440076.00
--	876	0	13:28, 13 jul 2020	445	13-7-2020 445	Punt	231582.81	440031.35
--	877	0	13:28, 13 jul 2020	446	13-7-2020 446	Punt	231596.06	439983.11
--	878	0	13:28, 13 jul 2020	447	13-7-2020 447	Punt	231599.46	439933.20
--	879	0	13:28, 13 jul 2020	448	13-7-2020 448	Punt	231592.85	439883.60
--	880	0	13:28, 13 jul 2020	449	13-7-2020 449	Punt	231576.56	439836.29
--	881	0	13:28, 13 jul 2020	450	13-7-2020 450	Punt	231556.41	439790.39
--	882	0	13:28, 13 jul 2020	451	13-7-2020 451	Punt	231534.95	439745.12
--	883	0	13:28, 13 jul 2020	452	13-7-2020 452	Punt	231512.05	439700.53
--	884	0	13:28, 13 jul 2020			Punt	230682.26	439558.86
--	885	0	13:28, 13 jul 2020			Punt	230666.47	439518.35
--	886	0	13:28, 13 jul 2020			Punt	230657.66	439469.14
--	887	0	13:28, 13 jul 2020			Punt	230645.48	439420.64
--	888	0	13:28, 13 jul 2020			Punt	230631.57	439372.62
--	889	0	13:28, 13 jul 2020			Punt	230617.49	439324.64
--	890	0	13:28, 13 jul 2020			Punt	230638.62	439286.69
--	891	0	13:28, 13 jul 2020			Punt	230683.85	439266.09
--	892	0	13:28, 13 jul 2020			Punt	230730.14	439247.19
--	893	0	13:28, 13 jul 2020			Punt	230776.26	439227.89
--	894	0	13:28, 13 jul 2020			Punt	230823.06	439210.37
--	895	0	13:28, 13 jul 2020			Punt	230870.37	439194.21
--	896	0	13:28, 13 jul 2020			Punt	230917.95	439178.83
--	897	0	13:28, 13 jul 2020			Punt	230965.52	439163.45
--	898	0	13:28, 13 jul 2020			Punt	231013.10	439148.07
--	899	0	13:28, 13 jul 2020			Punt	231060.47	439132.08
--	900	0	13:28, 13 jul 2020			Punt	231107.84	439116.08
--	901	0	13:28, 13 jul 2020			Punt	231155.30	439100.35
--	902	0	13:28, 13 jul 2020			Punt	231202.90	439085.04
--	903	0	13:28, 13 jul 2020			Punt	231250.89	439071.09
--	904	0	13:28, 13 jul 2020			Punt	231300.15	439062.88
--	905	0	13:28, 13 jul 2020			Punt	231349.88	439059.29
--	906	0	13:28, 13 jul 2020			Punt	231399.86	439059.43
--	907	0	13:28, 13 jul 2020			Punt	231449.69	439055.77
--	908	0	13:28, 13 jul 2020			Punt	231499.08	439048.03
--	909	0	13:28, 13 jul 2020			Punt	231548.69	439041.79
--	910	0	13:28, 13 jul 2020			Punt	231534.25	439023.45
--	911	0	13:28, 13 jul 2020			Punt	231484.69	439030.00
--	912	0	13:28, 13 jul 2020			Punt	231435.27	439037.49
--	913	0	13:28, 13 jul 2020			Punt	231385.33	439039.85
--	914	0	13:28, 13 jul 2020			Punt	231335.34	439039.05
--	915	0	13:28, 13 jul 2020			Punt	231285.73	439044.66
--	916	0	13:28, 13 jul 2020			Punt	231236.68	439054.01
--	917	0	13:28, 13 jul 2020			Punt	231188.86	439068.54
--	918	0	13:28, 13 jul 2020			Punt	231141.27	439083.85
--	919	0	13:28, 13 jul 2020			Punt	231093.84	439099.70
--	920	0	13:28, 13 jul 2020			Punt	231046.47	439115.70
--	921	0	13:28, 13 jul 2020			Punt	230999.07	439131.59
--	922	0	13:28, 13 jul 2020			Punt	230951.49	439146.97
--	923	0	13:28, 13 jul 2020			Punt	230903.91	439162.35
--	924	0	13:28, 13 jul 2020			Punt	230856.34	439177.73
--	925	0	13:28, 13 jul 2020			Punt	230809.08	439194.04
--	926	0	13:28, 13 jul 2020			Punt	230762.46	439212.05
--	927	0	13:28, 13 jul 2020			Punt	230716.30	439231.24
--	928	0	13:28, 13 jul 2020			Punt	230670.01	439250.14
--	929	0	13:28, 13 jul 2020			Punt	230625.35	439271.73
--	930	0	13:28, 13 jul 2020			Punt	230585.13	439298.81
--	931	0	13:28, 13 jul 2020			Punt	230536.26	439308.73
--	932	0	13:28, 13 jul 2020			Punt	230489.26	439325.69
--	933	0	13:28, 13 jul 2020			Punt	230443.07	439344.84
--	934	0	13:28, 13 jul 2020			Punt	230396.88	439363.99
--	935	0	13:28, 13 jul 2020			Punt	230351.10	439384.06
--	936	0	13:28, 13 jul 2020			Punt	230305.66	439404.92
--	937	0	13:28, 13 jul 2020			Punt	230260.73	439426.82
--	938	0	13:28, 13 jul 2020			Punt	230216.58	439450.29
--	939	0	13:28, 13 jul 2020			Punt	230174.88	439477.86
--	940	0	13:28, 13 jul 2020			Punt	230133.53	439505.94
--	941	0	13:28, 13 jul 2020			Punt	230095.08	439537.91
--	942	0	13:28, 13 jul 2020			Punt	230057.82	439571.15
--	943	0	13:28, 13 jul 2020			Punt	230022.77	439606.81
--	944	0	13:28, 13 jul 2020			Punt	229987.72	439642.47
--	945	0	13:28, 13 jul 2020			Punt	229997.09	439661.47
--	946	0	13:28, 13 jul 2020			Punt	230032.14	439625.81
--	947	0	13:28, 13 jul 2020			Punt	230067.19	439590.15
--	948	0	13:28, 13 jul 2020			Punt	230104.05	439556.46
--	949	0	13:28, 13 jul 2020			Punt	230142.50	439524.50
--	950	0	13:28, 13 jul 2020			Punt	230183.60	439496.09
--	951	0	13:28, 13 jul 2020			Punt	230225.20	439468.36
--	952	0	13:28, 13 jul 2020			Punt	230269.35	439444.88
--	953	0	13:28, 13 jul 2020			Punt	230314.27	439422.97
--	954	0	13:28, 13 jul 2020			Punt	230359.71	439402.11
--	955	0	13:28, 13 jul 2020			Punt	230405.51	439382.06
--	956	0	13:28, 13 jul 2020			Punt	230451.70	439362.91
--	957	0	13:28, 13 jul 2020			Punt	230497.88	439343.76
--	958	0	13:28, 13 jul 2020			Punt	230544.93	439326.93
--	959	0	13:28, 13 jul 2020			Punt	230593.96	439317.67
--	960	0	13:28, 13 jul 2020			Punt	230608.48	439364.96
--	961	0	13:28, 13 jul 2020			Punt	230622.55	439412.94
--	962	0	13:28, 13 jul 2020			Punt	230635.08	439461.34
--	963	0	13:28, 13 jul 2020			Punt	230644.75	439510.37
--	964	0	13:28, 13 jul 2020			Punt	230653.44	439559.61
--	965	0	13:28, 13 jul 2020			Punt	230660.92	439609.04
--	966	0	13:28, 13 jul 2020			Punt	230668.03	439658.53
--	967	0	13:28, 13 jul 2020			Punt	230675.15	439708.02
--	968	0	13:28, 13 jul 2020			Punt	230677.81	439757.70
--	969	0	13:28, 13 jul 2020			Punt	230674.92	439807.62
--	970	0	13:28, 13 jul 2020			Punt	230699.38	439836.21
--	971	0	13:28, 13 jul 2020			Punt	230701.56	439816.19
--	972	0	13:28, 13 jul 2020			Punt	230696.93	439773.44

Model: 2020
Groep: (hoofdgroep)
Lijst van Contourpunten, voor rekenmethode Luchtkwaliteit - STACKS

Groep	ItemID	Grp.ID	Datum	Naam	Omschr.	Vorm	X	Y
--	973	0	13:28, 13 jul 2020			Punt	230697.59	439723.61
--	974	0	13:28, 13 jul 2020			Punt	230690.48	439674.12
--	975	0	13:28, 13 jul 2020			Punt	230683.37	439624.63
--	976	0	13:28, 13 jul 2020			Punt	230680.75	439578.91

Bijlage 2 Geomilieu rekenresultaten

Rapport: Resultatentabel
 Model: 2020
 Resultaten voor model: 2020
 Stof: NO2 - Stikstofdioxide
 Referentiejaar: 2020

Naam	Omschrijving	X coördinaat	Y coördinaat	NO2 Concentratie [$\mu\text{g}/\text{m}^3$]	NO2 Achtergrond [$\mu\text{g}/\text{m}^3$]
		230680,75	439578,91	15,9	13,0
		230683,37	439624,63	15,3	13,0
		230690,48	439674,12	15,2	13,0
		230697,59	439723,61	15,1	13,0
		230696,93	439773,44	15,1	13,0
		230701,56	439816,19	15,0	13,0
		230699,38	439836,21	14,6	13,0
		230674,92	439807,62	14,4	13,0
		230677,81	439757,70	14,6	13,0
		230675,15	439708,02	14,7	13,0
		230668,03	439658,53	14,7	13,0
		230660,92	439609,04	14,9	13,0
		230653,44	439559,61	15,4	13,0
		230644,75	439510,37	15,6	13,0
		230635,08	439461,34	15,7	13,0
		230622,55	439412,94	15,8	13,0
		230608,48	439364,96	16,3	13,0
		230593,96	439317,67	18,9	13,0
		230544,93	439326,93	18,4	13,0
		230497,88	439343,76	18,2	13,0
		230451,70	439362,91	18,2	13,0
		230405,51	439382,06	18,1	13,0
		230359,71	439402,11	18,1	13,0
		230314,27	439422,97	18,1	13,0
		230269,35	439444,88	18,1	13,0
		230225,20	439468,36	18,1	13,0
		230183,60	439496,09	18,0	13,0
		230142,50	439524,50	18,0	13,0
		230104,05	439556,46	18,0	13,0
		230067,19	439590,15	17,9	13,0
		230032,14	439625,81	17,7	13,0
		229997,09	439661,47	16,6	13,4
		229987,72	439642,47	16,0	13,4
		230022,77	439606,81	16,3	13,0
		230057,82	439571,15	16,5	13,0
		230095,08	439537,91	16,6	13,0
		230133,53	439505,94	16,6	13,0
		230174,88	439477,86	16,7	13,0
		230216,58	439450,29	16,7	13,0
		230260,73	439426,82	16,8	13,0
		230305,66	439404,92	16,9	13,0
		230351,10	439384,06	16,9	13,0
		230396,88	439363,99	16,9	13,0
		230443,07	439344,84	17,0	13,0
		230489,26	439325,69	17,0	13,0
		230536,26	439308,73	17,2	13,0
		230585,13	439298,81	17,6	13,0
		230625,35	439271,73	16,6	13,0
		230670,01	439250,14	16,6	13,0
		230716,30	439231,24	16,5	13,0
		230762,46	439212,05	16,5	13,0
		230809,08	439194,04	16,6	13,0
		230856,34	439177,73	16,5	13,0
		230903,91	439162,35	16,5	13,0
		230951,49	439146,97	16,5	13,0
		230999,07	439131,59	16,4	13,0
		231046,47	439115,70	16,0	12,6
		231093,84	439099,70	16,0	12,6
		231141,27	439083,85	16,0	12,6
		231188,86	439068,54	15,9	12,6

Rapport: Resultatentabel
 Model: 2020
 Resultaten voor model: 2020
 Stof: NO2 - Stikstofdioxide
 Referentiejaar: 2020

Naam	NO2 Bronbijdrage [$\mu\text{g}/\text{m}^3$]	NO2 # Overschrijdingen	uur limiet [-]
	2,9		0
	2,3		0
	2,2		0
	2,1		0
	2,1		0
	2,0		0
	1,6		0
	1,4		0
	1,6		0
	1,6		0
	1,7		0
	1,9		0
	2,4		0
	2,5		0
	2,6		0
	2,8		0
	3,2		0
	5,9		0
	5,4		0
	5,2		0
	5,2		0
	5,1		0
	5,1		0
	5,1		0
	5,1		0
	5,1		0
	5,0		0
	5,0		0
	5,0		0
	5,0		0
	4,9		0
	4,7		0
	3,2		0
	2,6		0
	3,3		0
	3,4		0
	3,6		0
	3,6		0
	3,7		0
	3,7		0
	3,8		0
	3,8		0
	3,9		0
	3,9		0
	4,0		0
	4,0		0
	4,1		0
	4,6		0
	3,5		0
	3,5		0
	3,5		0
	3,5		0
	3,5		0
	3,6		0
	3,5		0
	3,5		0
	3,4		0
	3,4		0
	3,4		0
	3,3		0
	3,3		0
	3,3		0
	3,3		0

Rapport: Resultatentabel
 Model: 2020
 Resultaten voor model: 2020
 Stof: NO2 - Stikstofdioxide
 Referentiejaar: 2020

Naam	Omschrijving	X coördinaat	Y coördinaat	NO2 Concentratie [$\mu\text{g}/\text{m}^3$]	NO2 Achtergrond [$\mu\text{g}/\text{m}^3$]
		231236,68	439054,01	15,9	12,6
		231285,73	439044,66	16,0	12,6
		231335,34	439039,05	16,1	12,6
		231385,33	439039,85	16,1	12,6
		231435,27	439037,49	16,1	12,6
		231484,69	439030,00	15,9	12,6
		231534,25	439023,45	15,5	12,6
		231548,69	439041,79	15,7	12,6
		231499,08	439048,03	14,6	12,6
		231449,69	439055,77	16,6	12,6
		231399,86	439059,43	16,6	12,6
		231349,88	439059,29	16,7	12,6
		231300,15	439062,88	16,8	12,6
		231250,89	439071,09	16,8	12,6
		231202,90	439085,04	16,8	12,6
		231155,30	439100,35	16,9	12,6
		231107,84	439116,08	16,9	12,6
		231060,47	439132,08	16,9	12,6
		231013,10	439148,07	17,0	12,6
		230965,52	439163,45	17,4	13,0
		230917,95	439178,83	17,5	13,0
		230870,37	439194,21	17,6	13,0
		230823,06	439210,37	17,6	13,0
		230776,26	439227,89	17,6	13,0
		230730,14	439247,19	17,6	13,0
		230683,85	439266,09	17,6	13,0
		230638,62	439286,69	17,9	13,0
		230617,49	439324,64	17,8	13,0
		230631,57	439372,62	16,7	13,0
		230645,48	439420,64	16,5	13,0
		230657,66	439469,14	16,4	13,0
		230666,47	439518,35	16,4	13,0
		230682,26	439558,86	16,0	13,0
452	13-7-2020 452	231512,05	439700,53	13,0	12,6
451	13-7-2020 451	231534,95	439745,12	13,0	12,6
450	13-7-2020 450	231556,41	439790,39	13,0	12,6
449	13-7-2020 449	231576,56	439836,29	13,0	12,6
448	13-7-2020 448	231592,85	439883,60	12,9	12,6
447	13-7-2020 447	231599,46	439933,20	12,9	12,6
446	13-7-2020 446	231596,06	439983,11	12,9	12,6
445	13-7-2020 445	231582,81	440031,35	12,3	12,0
444	13-7-2020 444	231560,23	440076,00	12,3	12,0
443	13-7-2020 443	231529,17	440115,23	12,3	12,0
442	13-7-2020 442	231490,96	440147,54	12,3	12,0
441	13-7-2020 441	231447,02	440171,48	12,3	12,0
440	13-7-2020 440	231399,38	440186,86	12,3	12,0
439	13-7-2020 439	231351,01	440199,99	12,3	12,0
438	13-7-2020 438	231302,63	440213,11	12,3	12,0
437	13-7-2020 437	231253,22	440221,01	12,3	12,0
436	13-7-2020 436	231203,23	440218,95	12,4	12,0
435	13-7-2020 435	231154,27	440229,02	12,4	12,0
434	13-7-2020 434	231104,97	440238,08	12,4	12,0
433	13-7-2020 433	231055,68	440247,14	12,3	12,0
432	13-7-2020 432	231006,38	440256,20	12,3	12,0
431	13-7-2020 431	230956,91	440264,09	12,7	12,4
430	13-7-2020 430	230906,88	440263,42	12,7	12,4
429	13-7-2020 429	230857,99	440252,81	12,7	12,4
428	13-7-2020 428	230812,19	440232,66	12,7	12,4
427	13-7-2020 427	230769,61	440206,22	12,7	12,4
426	13-7-2020 426	230727,18	440179,54	12,7	12,4

Rapport: Resultatentabel
 Model: 2020
 Resultaten voor model: 2020
 Stof: NO2 - Stikstofdioxide
 Referentiejaar: 2020

Naam	NO2 Bronbijdrage [$\mu\text{g}/\text{m}^3$]	NO2 # Overschrijdingen	uur limiet [-]
	3,3		0
	3,4		0
	3,4		0
	3,5		0
	3,5		0
	3,3		0
	2,8		0
	3,0		0
	2,0		0
	4,0		0
	4,0		0
	4,0		0
	4,1		0
	4,2		0
	4,2		0
	4,2		0
	4,2		0
	4,3		0
	4,3		0
	4,4		0
	4,5		0
	4,5		0
	4,6		0
	4,6		0
	4,6		0
	4,6		0
	4,9		0
	4,8		0
	3,7		0
	3,5		0
	3,4		0
	3,3		0
	3,0		0
452	0,4		0
451	0,4		0
450	0,3		0
449	0,3		0
448	0,3		0
447	0,3		0
446	0,3		0
445	0,3		0
444	0,3		0
443	0,3		0
442	0,3		0
441	0,3		0
440	0,3		0
439	0,3		0
438	0,3		0
437	0,3		0
436	0,4		0
435	0,4		0
434	0,4		0
433	0,4		0
432	0,3		0
431	0,3		0
430	0,3		0
429	0,3		0
428	0,3		0
427	0,3		0
426	0,3		0

Rapport: Resultatentabel
 Model: 2020
 Resultaten voor model: 2020
 Stof: NO2 - Stikstofdioxide
 Referentiejaar: 2020

Naam	Omschrijving	X coördinaat	Y coördinaat	NO2 Concentratie [$\mu\text{g}/\text{m}^3$]	NO2 Achtergrond [$\mu\text{g}/\text{m}^3$]
425	13-7-2020 425	230684,75	440152,85	12,7	12,4
424	13-7-2020 424	230642,33	440126,17	12,7	12,4
423	13-7-2020 423	230599,90	440099,48	12,7	12,4
422	13-7-2020 422	230558,47	440071,34	12,7	12,4
421	13-7-2020 421	230522,90	440036,14	12,7	12,4
420	13-7-2020 420	230495,07	439994,56	13,3	13,0
419	13-7-2020 419	230476,08	439948,27	13,3	13,0
418	13-7-2020 418	230466,69	439899,12	13,4	13,0
417	13-7-2020 417	230467,25	439849,08	13,4	13,0
416	13-7-2020 416	230472,51	439799,24	13,4	13,0
415	13-7-2020 415	230477,79	439749,39	13,5	13,0
414	13-7-2020 414	230471,00	439699,91	13,5	13,0
413	13-7-2020 413	230461,97	439650,61	13,6	13,0
412	13-7-2020 412	230452,94	439601,30	13,7	13,0
411	13-7-2020 411	230441,61	439552,49	13,8	13,0
410	13-7-2020 410	230429,99	439503,73	14,0	13,0
409	13-7-2020 409	230418,36	439454,98	14,4	13,0
408	13-7-2020 408	230406,73	439406,22	15,7	13,0
407	13-7-2020 407	230395,10	439357,47	16,1	13,0
406	13-7-2020 406	230386,89	439308,10	14,2	13,0
405	13-7-2020 405	230388,52	439258,08	13,8	13,0
404	13-7-2020 404	230400,10	439209,41	13,6	13,0
403	13-7-2020 403	230421,12	439164,00	13,5	13,0
402	13-7-2020 402	230450,76	439123,69	13,5	13,0
401	13-7-2020 401	230487,86	439090,12	13,5	13,0
400	13-7-2020 400	230530,85	439064,53	13,4	13,0
399	13-7-2020 399	230576,91	439044,76	13,4	13,0
398	13-7-2020 398	230623,03	439025,12	13,4	13,0
397	13-7-2020 397	230669,15	439005,50	13,4	13,0
396	13-7-2020 396	230716,25	438988,40	12,7	12,3
395	13-7-2020 395	230763,58	438971,90	12,7	12,3
394	13-7-2020 394	230810,91	438955,40	12,7	12,3
393	13-7-2020 393	230858,43	438939,49	12,7	12,3
392	13-7-2020 392	230906,26	438924,51	12,7	12,3
391	13-7-2020 391	230954,23	438910,00	12,7	12,3
390	13-7-2020 390	231003,74	438902,82	12,9	12,5
389	13-7-2020 389	231053,70	438905,63	12,9	12,5
388	13-7-2020 388	231102,10	438918,34	12,9	12,5
387	13-7-2020 387	231146,98	438940,45	13,0	12,5
386	13-7-2020 386	231186,58	438971,05	13,2	12,5
385	13-7-2020 385	231219,28	439008,92	13,7	12,6
383	13-7-2020 383	231264,08	439098,37	14,6	12,6
382	13-7-2020 382	231284,37	439144,21	13,7	12,6
381	13-7-2020 381	231304,65	439190,04	13,5	12,6
380	13-7-2020 380	231324,94	439235,87	13,3	12,6
379	13-7-2020 379	231345,23	439281,71	13,2	12,6
378	13-7-2020 378	231365,51	439327,54	13,2	12,6
377	13-7-2020 377	231385,80	439373,37	13,2	12,6
376	13-7-2020 376	231403,78	439420,15	13,1	12,6
375	13-7-2020 375	231421,31	439467,10	13,1	12,6
374	13-7-2020 374	231438,84	439514,06	13,1	12,6
373	13-7-2020 373	231456,36	439561,02	13,1	12,6
372	13-7-2020 372	231473,89	439607,98	13,1	12,6
371	13-7-2020 371	231491,42	439654,94	13,0	12,6
370	13-7-2020 370	231377,82	439493,58	13,2	12,6
369	13-7-2020 369	231395,52	439541,00	13,2	12,6
368	13-7-2020 368	231413,22	439588,42	13,1	12,6
367	13-7-2020 367	231430,92	439635,85	13,1	12,6
366	13-7-2020 366	231448,62	439683,27	13,1	12,6
365	13-7-2020 365	231470,41	439728,90	13,1	12,6

Rapport: Resultatentabel
 Model: 2020
 Resultaten voor model: 2020
 Stof: NO2 - Stikstofdioxide
 Referentiejaar: 2020

Naam	NO2 Bronbijdrage [$\mu\text{g}/\text{m}^3$]	NO2 # Overschrijdingen	uur limiet [-]
425	0,3		0
424	0,3		0
423	0,3		0
422	0,3		0
421	0,3		0
420	0,3		0
419	0,3		0
418	0,3		0
417	0,4		0
416	0,4		0
415	0,5		0
414	0,5		0
413	0,6		0
412	0,7		0
411	0,8		0
410	1,0		0
409	1,4		0
408	2,7		0
407	3,1		0
406	1,2		0
405	0,8		0
404	0,6		0
403	0,5		0
402	0,5		0
401	0,4		0
400	0,4		0
399	0,4		0
398	0,4		0
397	0,4		0
396	0,4		0
395	0,4		0
394	0,4		0
393	0,4		0
392	0,4		0
391	0,4		0
390	0,4		0
389	0,4		0
388	0,5		0
387	0,5		0
386	0,7		0
385	1,1		0
383	1,9		0
382	1,1		0
381	0,8		0
380	0,7		0
379	0,6		0
378	0,5		0
377	0,5		0
376	0,5		0
375	0,5		0
374	0,5		0
373	0,4		0
372	0,4		0
371	0,4		0
370	0,5		0
369	0,5		0
368	0,5		0
367	0,5		0
366	0,4		0
365	0,4		0

Rapport: Resultatentabel
 Model: 2020
 Resultaten voor model: 2020
 Stof: NO2 - Stikstofdioxide
 Referentiejaar: 2020

Naam	Omschrijving	X coördinaat	Y coördinaat	NO2 Concentratie [$\mu\text{g}/\text{m}^3$]	NO2 Achtergrond [$\mu\text{g}/\text{m}^3$]
364	13-7-2020 364	231493,53	439773,92	13,0	12,6
363	13-7-2020 363	231514,74	439819,86	13,0	12,6
362	13-7-2020 362	231535,00	439866,25	13,0	12,6
361	13-7-2020 361	231547,87	439915,06	13,0	12,6
360	13-7-2020 360	231548,13	439965,54	13,0	12,6
359	13-7-2020 359	231535,70	440014,46	12,3	12,0
358	13-7-2020 358	231511,51	440058,76	12,3	12,0
357	13-7-2020 357	231476,90	440095,51	12,3	12,0
356	13-7-2020 356	231434,23	440122,46	12,3	12,0
355	13-7-2020 355	231386,34	440138,59	12,3	12,0
354	13-7-2020 354	231337,49	440151,85	12,4	12,0
353	13-7-2020 353	231288,63	440165,04	12,4	12,0
352	13-7-2020 352	231238,56	440171,43	12,4	12,0
351	13-7-2020 351	231188,30	440169,31	12,4	12,0
350	13-7-2020 350	231139,10	440180,97	12,4	12,0
349	13-7-2020 349	231089,32	440190,12	12,4	12,0
348	13-7-2020 348	231039,54	440199,27	12,4	12,0
347	13-7-2020 347	230989,75	440208,42	12,8	12,4
346	13-7-2020 346	230939,64	440215,00	12,8	12,4
345	13-7-2020 345	230889,43	440209,73	12,7	12,4
344	13-7-2020 344	230842,15	440192,05	12,7	12,4
343	13-7-2020 343	230798,99	440165,63	12,7	12,4
342	13-7-2020 342	230756,14	440138,68	12,7	12,4
341	13-7-2020 341	230713,30	440111,74	12,7	12,4
340	13-7-2020 340	230670,45	440084,79	12,7	12,4
339	13-7-2020 339	230627,60	440057,84	12,7	12,4
338	13-7-2020 338	230585,97	440029,16	12,7	12,4
337	13-7-2020 337	230552,00	439991,82	13,3	13,0
336	13-7-2020 336	230528,42	439947,19	13,4	13,0
335	13-7-2020 335	230516,81	439898,06	13,4	13,0
334	13-7-2020 334	230517,68	439847,56	13,4	13,0
333	13-7-2020 333	230523,00	439797,23	13,5	13,0
332	13-7-2020 332	230528,29	439746,89	13,5	13,0
331	13-7-2020 331	230521,29	439696,96	13,6	13,0
330	13-7-2020 330	230512,17	439647,17	13,7	13,0
329	13-7-2020 329	230503,06	439597,38	13,7	13,0
328	13-7-2020 328	230491,95	439548,01	13,8	13,0
327	13-7-2020 327	230480,20	439498,77	14,0	13,0
326	13-7-2020 326	230468,46	439449,53	14,3	13,0
325	13-7-2020 325	230456,72	439400,30	15,2	13,0
323	13-7-2020 323	230436,61	439301,24	14,5	13,0
322	13-7-2020 322	230440,46	439250,91	13,9	13,0
321	13-7-2020 321	230456,82	439203,17	13,7	13,0
320	13-7-2020 320	230484,57	439161,01	13,6	13,0
319	13-7-2020 319	230521,97	439127,11	13,6	13,0
318	13-7-2020 318	230566,61	439103,48	13,6	13,0
317	13-7-2020 317	230613,18	439083,66	13,6	13,0
316	13-7-2020 316	230659,76	439063,83	13,5	13,0
315	13-7-2020 315	230706,61	439044,71	13,5	13,0
314	13-7-2020 314	230754,41	439028,05	13,5	13,0
313	13-7-2020 313	230802,20	439011,39	13,5	13,0
312	13-7-2020 312	230850,00	438994,73	12,8	12,3
311	13-7-2020 311	230898,24	438979,42	12,8	12,3
310	13-7-2020 310	230946,55	438964,29	12,8	12,3
309	13-7-2020 309	230995,88	438953,50	12,7	12,3
308	13-7-2020 308	231046,32	438955,11	13,0	12,5
307	13-7-2020 307	231094,76	438969,32	13,1	12,5
306	13-7-2020 306	231138,09	438995,21	13,2	12,5
305	13-7-2020 305	231173,55	439031,13	13,9	12,6
303	13-7-2020 303	231219,44	439121,05	14,3	12,6

Rapport: Resultatentabel
 Model: 2020
 Resultaten voor model: 2020
 Stof: NO2 - Stikstofdioxide
 Referentiejaar: 2020

Naam	NO2 Bronbijdrage [$\mu\text{g}/\text{m}^3$]	NO2 # Overschrijdingen	uur limiet [-]
364	0,4		0
363	0,4		0
362	0,3		0
361	0,3		0
360	0,3		0
359	0,3		0
358	0,3		0
357	0,3		0
356	0,3		0
355	0,3		0
354	0,4		0
353	0,4		0
352	0,4		0
351	0,4		0
350	0,4		0
349	0,4		0
348	0,4		0
347	0,4		0
346	0,4		0
345	0,3		0
344	0,3		0
343	0,3		0
342	0,3		0
341	0,3		0
340	0,3		0
339	0,3		0
338	0,3		0
337	0,3		0
336	0,3		0
335	0,4		0
334	0,4		0
333	0,5		0
332	0,5		0
331	0,6		0
330	0,6		0
329	0,7		0
328	0,8		0
327	1,0		0
326	1,3		0
325	2,2		0
323	1,5		0
322	0,9		0
321	0,7		0
320	0,6		0
319	0,6		0
318	0,5		0
317	0,5		0
316	0,5		0
315	0,5		0
314	0,5		0
313	0,5		0
312	0,5		0
311	0,5		0
310	0,5		0
309	0,4		0
308	0,5		0
307	0,6		0
306	0,8		0
305	1,3		0
303	1,7		0

Rapport: Resultatentabel
 Model: 2020
 Resultaten voor model: 2020
 Stof: NO2 - Stikstofdioxide
 Referentiejaar: 2020

Naam	Omschrijving	X coördinaat	Y coördinaat	NO2 Concentratie [$\mu\text{g}/\text{m}^3$]	NO2 Achtergrond [$\mu\text{g}/\text{m}^3$]
302	13-7-2020 302	231239,92	439167,33	13,7	12,6
301	13-7-2020 301	231260,41	439213,62	13,4	12,6
300	13-7-2020 300	231280,90	439259,90	13,3	12,6
299	13-7-2020 299	231301,38	439306,19	13,3	12,6
298	13-7-2020 298	231321,87	439352,47	13,2	12,6
297	13-7-2020 297	231342,28	439398,79	13,2	12,6
296	13-7-2020 296	231360,12	439446,16	13,2	12,6
295	13-7-2020 295	231367,49	439608,88	13,2	12,6
294	13-7-2020 294	231349,84	439561,59	13,2	12,6
293	13-7-2020 293	231332,19	439514,30	13,2	12,6
292	13-7-2020 292	231314,54	439467,01	13,2	12,6
291	13-7-2020 291	231296,82	439419,75	13,3	12,6
290	13-7-2020 290	231276,52	439373,54	13,3	12,6
289	13-7-2020 289	231256,09	439327,38	13,3	12,6
288	13-7-2020 288	231235,66	439281,22	13,4	12,6
287	13-7-2020 287	231215,23	439235,07	13,5	12,6
286	13-7-2020 286	231194,80	439188,91	13,7	12,6
285	13-7-2020 285	231174,37	439142,75	14,2	12,6
283	13-7-2020 283	231127,56	439053,82	14,1	12,6
282	13-7-2020 282	231088,63	439022,08	13,5	12,6
281	13-7-2020 281	231041,40	439004,95	13,3	12,6
280	13-7-2020 280	230991,15	439004,40	13,7	13,0
279	13-7-2020 279	230942,58	439017,93	13,7	13,0
278	13-7-2020 278	230894,41	439033,02	13,7	13,0
277	13-7-2020 277	230846,50	439048,90	13,7	13,0
276	13-7-2020 276	230798,83	439065,51	13,7	13,0
275	13-7-2020 275	230751,17	439082,13	13,7	13,0
274	13-7-2020 274	230703,77	439099,44	13,7	13,0
273	13-7-2020 273	230657,33	439119,21	13,7	13,0
272	13-7-2020 272	230610,88	439138,98	13,7	13,0
271	13-7-2020 271	230564,76	439159,44	13,7	13,0
270	13-7-2020 270	230525,28	439190,48	13,8	13,0
269	13-7-2020 269	230498,25	439232,81	14,0	13,0
268	13-7-2020 268	230486,70	439281,67	14,5	13,0
266	13-7-2020 266	230503,46	439380,77	15,3	13,0
265	13-7-2020 265	230515,17	439429,87	14,4	13,0
264	13-7-2020 264	230526,88	439478,96	14,1	13,0
263	13-7-2020 263	230538,59	439528,06	13,9	13,0
262	13-7-2020 262	230550,18	439577,19	13,8	13,0
261	13-7-2020 261	230559,28	439626,84	13,8	13,0
260	13-7-2020 260	230568,37	439676,49	13,7	13,0
259	13-7-2020 259	230577,46	439726,14	13,7	13,0
258	13-7-2020 258	230575,51	439776,22	13,6	13,0
257	13-7-2020 257	230570,19	439826,42	13,5	13,0
256	13-7-2020 256	230565,71	439876,67	13,4	13,0
255	13-7-2020 255	230574,02	439926,22	13,4	13,0
254	13-7-2020 254	230598,22	439970,25	13,4	13,0
253	13-7-2020 253	230635,61	440003,80	12,8	12,4
252	13-7-2020 252	230678,34	440030,68	12,8	12,4
251	13-7-2020 251	230721,06	440057,55	12,8	12,4
250	13-7-2020 250	230763,79	440084,43	12,8	12,4
249	13-7-2020 249	230806,52	440111,30	12,8	12,4
248	13-7-2020 248	230849,25	440138,17	12,8	12,4
247	13-7-2020 247	230894,78	440159,45	12,8	12,4
246	13-7-2020 246	230944,73	440164,70	12,8	12,4
245	13-7-2020 245	230994,54	440156,70	12,8	12,4
244	13-7-2020 244	231044,18	440147,58	12,5	12,0
243	13-7-2020 243	231093,83	440138,45	12,5	12,0
242	13-7-2020 242	231143,47	440129,31	12,5	12,0
241	13-7-2020 241	231192,10	440116,14	12,5	12,0

Rapport: Resultatentabel
 Model: 2020
 Resultaten voor model: 2020
 Stof: NO2 - Stikstofdioxide
 Referentiejaar: 2020

Naam	NO2 Bronbijdrage [$\mu\text{g}/\text{m}^3$]	NO2 # Overschrijdingen	uur limiet [-]
302	1,0		0
301	0,8		0
300	0,7		0
299	0,6		0
298	0,6		0
297	0,6		0
296	0,5		0
295	0,6		0
294	0,6		0
293	0,6		0
292	0,6		0
291	0,6		0
290	0,6		0
289	0,7		0
288	0,7		0
287	0,8		0
286	1,0		0
285	1,6		0
283	1,4		0
282	0,9		0
281	0,7		0
280	0,6		0
279	0,6		0
278	0,7		0
277	0,7		0
276	0,7		0
275	0,7		0
274	0,7		0
273	0,7		0
272	0,7		0
271	0,7		0
270	0,8		0
269	1,0		0
268	1,5		0
266	2,3		0
265	1,4		0
264	1,1		0
263	0,9		0
262	0,8		0
261	0,8		0
260	0,7		0
259	0,6		0
258	0,6		0
257	0,5		0
256	0,4		0
255	0,4		0
254	0,4		0
253	0,4		0
252	0,4		0
251	0,4		0
250	0,4		0
249	0,4		0
248	0,4		0
247	0,4		0
246	0,4		0
245	0,4		0
244	0,5		0
243	0,5		0
242	0,5		0
241	0,5		0

Rapport: Resultatentabel
 Model: 2020
 Resultaten voor model: 2020
 Stof: NO2 - Stikstofdioxide
 Referentiejaar: 2020

Naam	Omschrijving	X coördinaat	Y coördinaat	NO2 Concentratie [$\mu\text{g}/\text{m}^3$]	NO2 Achtergrond [$\mu\text{g}/\text{m}^3$]
240	13-7-2020 240	231242,17	440121,41	12,4	12,0
239	13-7-2020 239	231291,69	440112,47	12,4	12,0
238	13-7-2020 238	231340,40	440099,25	12,4	12,0
237	13-7-2020 237	231389,11	440086,01	12,4	12,0
236	13-7-2020 236	231434,62	440064,77	12,3	12,0
235	13-7-2020 235	231470,69	440029,81	12,3	12,0
234	13-7-2020 234	231493,09	439984,86	13,0	12,6
233	13-7-2020 233	231499,45	439935,04	13,0	12,6
232	13-7-2020 232	231488,99	439885,90	13,0	12,6
231	13-7-2020 231	231468,82	439839,64	13,1	12,6
230	13-7-2020 230	231447,57	439793,87	13,1	12,6
229	13-7-2020 229	231424,51	439748,97	13,1	12,6
228	13-7-2020 228	231402,79	439703,46	13,2	12,6
227	13-7-2020 227	231385,14	439656,17	13,2	12,6
226	13-7-2020 226	231355,69	439720,25	13,2	12,6
225	13-7-2020 225	231338,09	439673,11	13,3	12,6
224	13-7-2020 224	231320,50	439625,97	13,3	12,6
223	13-7-2020 223	231302,91	439578,84	13,3	12,6
222	13-7-2020 222	231285,31	439531,70	13,3	12,6
221	13-7-2020 221	231267,72	439484,57	13,3	12,6
220	13-7-2020 220	231250,07	439437,45	13,4	12,6
219	13-7-2020 219	231229,76	439391,43	13,4	12,6
218	13-7-2020 218	231209,39	439345,42	13,4	12,6
217	13-7-2020 217	231189,03	439299,41	13,4	12,6
216	13-7-2020 216	231168,66	439253,41	13,5	12,6
215	13-7-2020 215	231148,30	439207,40	13,7	12,6
214	13-7-2020 214	231127,94	439161,39	14,2	12,6
212	13-7-2020 212	231078,06	439075,29	14,2	12,6
211	13-7-2020 211	231032,94	439054,27	13,7	12,6
210	13-7-2020 210	230983,27	439057,62	13,9	13,0
209	13-7-2020 209	230935,24	439072,62	13,9	13,0
208	13-7-2020 208	230887,25	439087,73	14,0	13,0
207	13-7-2020 207	230839,72	439104,21	14,0	13,0
206	13-7-2020 206	230792,21	439120,77	14,0	13,0
205	13-7-2020 205	230744,70	439137,33	14,0	13,0
204	13-7-2020 204	230698,08	439156,20	14,0	13,0
203	13-7-2020 203	230651,79	439175,91	14,0	13,0
202	13-7-2020 202	230605,50	439195,61	14,0	13,0
201	13-7-2020 201	230563,66	439222,71	14,1	13,0
200	13-7-2020 200	230539,53	439266,23	14,6	13,0
198	13-7-2020 198	230551,10	439364,96	15,4	13,0
197	13-7-2020 197	230562,77	439413,90	14,6	13,0
196	13-7-2020 196	230574,44	439462,84	14,3	13,0
195	13-7-2020 195	230586,11	439511,78	14,2	13,0
194	13-7-2020 194	230597,76	439560,72	14,1	13,0
193	13-7-2020 193	230607,06	439610,16	14,0	13,0
192	13-7-2020 192	230616,12	439659,65	13,9	13,0
191	13-7-2020 191	230625,18	439709,14	13,8	13,0
190	13-7-2020 190	230627,61	439758,94	13,8	13,0
189	13-7-2020 189	230622,32	439808,97	13,6	13,0
188	13-7-2020 188	230617,03	439859,00	13,5	13,0
187	13-7-2020 187	230620,89	439908,70	13,5	13,0
186	13-7-2020 186	230647,93	439950,50	13,4	13,0
185	13-7-2020 185	230689,54	439978,66	13,5	13,0
184	13-7-2020 184	230732,12	440005,44	12,9	12,4
183	13-7-2020 183	230774,71	440032,23	12,9	12,4
182	13-7-2020 182	230817,30	440059,01	12,9	12,4
181	13-7-2020 181	230859,89	440085,80	12,9	12,4
180	13-7-2020 180	230903,86	440109,93	12,9	12,4
179	13-7-2020 179	230953,52	440113,38	12,9	12,4

Rapport: Resultatentabel
 Model: 2020
 Resultaten voor model: 2020
 Stof: NO2 - Stikstofdioxide
 Referentiejaar: 2020

Naam	NO2 Bronbijdrage [$\mu\text{g}/\text{m}^3$]	NO2 # Overschrijdingen	uur limiet [-]
240	0,4		0
239	0,4		0
238	0,4		0
237	0,4		0
236	0,4		0
235	0,3		0
234	0,3		0
233	0,4		0
232	0,4		0
231	0,4		0
230	0,4		0
229	0,5		0
228	0,5		0
227	0,5		0
226	0,6		0
225	0,6		0
224	0,7		0
223	0,7		0
222	0,7		0
221	0,7		0
220	0,7		0
219	0,7		0
218	0,8		0
217	0,8		0
216	0,9		0
215	1,1		0
214	1,6		0
212	1,6		0
211	1,0		0
210	0,9		0
209	0,9		0
208	0,9		0
207	1,0		0
206	1,0		0
205	1,0		0
204	1,0		0
203	1,0		0
202	1,0		0
201	1,1		0
200	1,6		0
198	2,4		0
197	1,6		0
196	1,3		0
195	1,1		0
194	1,0		0
193	1,0		0
192	0,9		0
191	0,8		0
190	0,8		0
189	0,6		0
188	0,5		0
187	0,5		0
186	0,4		0
185	0,4		0
184	0,5		0
183	0,5		0
182	0,5		0
181	0,5		0
180	0,5		0
179	0,5		0

Rapport: Resultatentabel
 Model: 2020
 Resultaten voor model: 2020
 Stof: NO2 - Stikstofdioxide
 Referentiejaar: 2020

Naam	Omschrijving	X coördinaat	Y coördinaat	NO2 Concentratie [$\mu\text{g}/\text{m}^3$]	NO2 Achtergrond [$\mu\text{g}/\text{m}^3$]
178	13-7-2020 178	231003,00	440104,31	12,5	12,0
177	13-7-2020 177	231052,49	440095,22	12,5	12,0
176	13-7-2020 176	231101,97	440086,12	12,6	12,0
175	13-7-2020 175	231151,24	440076,08	12,5	12,0
174	13-7-2020 174	231199,69	440064,18	12,5	12,0
173	13-7-2020 173	231249,06	440070,82	12,5	12,0
172	13-7-2020 172	231297,90	440058,98	12,5	12,0
171	13-7-2020 171	231346,46	440045,80	12,4	12,0
170	13-7-2020 170	231394,31	440030,63	12,4	12,0
169	13-7-2020 169	231431,96	439998,05	13,0	12,6
168	13-7-2020 168	231449,01	439951,29	13,0	12,6
167	13-7-2020 167	231441,55	439902,11	13,1	12,6
166	13-7-2020 166	231421,40	439856,01	13,1	12,6
165	13-7-2020 165	231399,92	439810,53	13,2	12,6
164	13-7-2020 164	231376,94	439765,78	13,2	12,6
163	13-7-2020 163	231311,35	439744,45	13,4	12,6
162	13-7-2020 162	231293,82	439697,47	13,4	12,6
161	13-7-2020 161	231276,28	439650,50	13,4	12,6
160	13-7-2020 160	231258,75	439603,52	13,5	12,6
159	13-7-2020 159	231241,22	439556,55	13,5	12,6
158	13-7-2020 158	231223,68	439509,57	13,5	12,6
157	13-7-2020 157	231206,15	439462,60	13,5	12,6
156	13-7-2020 156	231186,22	439416,60	13,5	12,6
155	13-7-2020 155	231165,92	439370,75	13,5	12,6
154	13-7-2020 154	231145,63	439324,90	13,5	12,6
153	13-7-2020 153	231125,33	439279,05	13,6	12,6
152	13-7-2020 152	231105,04	439233,20	13,7	12,6
151	13-7-2020 151	231084,75	439187,35	14,1	12,6
150	13-7-2020 150	231064,45	439141,50	15,7	12,6
149	13-7-2020 149	231031,87	439105,62	14,8	12,6
148	13-7-2020 148	230983,07	439110,04	14,7	13,0
147	13-7-2020 147	230935,22	439125,02	14,8	13,0
146	13-7-2020 146	230887,53	439140,49	14,8	13,0
145	13-7-2020 145	230840,19	439157,00	14,8	13,0
144	13-7-2020 144	230792,84	439173,50	14,9	13,0
143	13-7-2020 143	230745,62	439190,35	14,8	13,0
142	13-7-2020 142	230699,47	439209,95	14,8	13,0
141	13-7-2020 141	230653,34	439229,59	14,9	13,0
140	13-7-2020 140	230607,92	439250,53	14,9	13,0
139	13-7-2020 139	230586,59	439293,39	16,8	13,0
138	13-7-2020 138	230597,10	439342,34	16,6	13,0
137	13-7-2020 137	230608,74	439391,11	15,5	13,0
136	13-7-2020 136	230620,37	439439,88	15,2	13,0
135	13-7-2020 135	230632,00	439488,66	15,0	13,0
134	13-7-2020 134	230643,63	439537,43	15,1	13,0
133	13-7-2020 133	230653,57	439586,56	14,8	13,0
132	13-7-2020 132	230662,60	439635,88	14,7	13,0
131	13-7-2020 131	230671,63	439685,20	14,7	13,0
129	13-7-2020 129	230675,19	439784,49	14,5	13,0
128	13-7-2020 128	230669,91	439834,35	13,9	13,0
127	13-7-2020 127	230666,40	439884,24	13,6	13,0
126	13-7-2020 126	230695,02	439923,05	13,6	13,0
125	13-7-2020 125	230737,47	439949,74	13,6	13,0
124	13-7-2020 124	230779,91	439976,43	13,6	13,0
123	13-7-2020 123	230822,36	440003,13	13,0	12,4
122	13-7-2020 122	230864,80	440029,82	13,0	12,4
121	13-7-2020 121	230907,26	440056,49	13,0	12,4
120	13-7-2020 120	230955,50	440062,21	13,0	12,4
119	13-7-2020 119	231004,81	440053,14	12,6	12,0
118	13-7-2020 118	231054,12	440044,08	12,7	12,0

Rapport: Resultatentabel
Model: 2020
Resultaten voor model: 2020
Stof: NO2 - Stikstofdioxide
Referentiejaar: 2020

Naam	NO2 Bronbijdrage [$\mu\text{g}/\text{m}^3$]	NO2 # Overschrijdingen	uur limiet [-]
178	0,5		0
177	0,5		0
176	0,6		0
175	0,6		0
174	0,5		0
173	0,5		0
172	0,5		0
171	0,4		0
170	0,4		0
169	0,4		0
168	0,4		0
167	0,4		0
166	0,5		0
165	0,5		0
164	0,6		0
163	0,7		0
162	0,8		0
161	0,8		0
160	0,8		0
159	0,8		0
158	0,8		0
157	0,8		0
156	0,8		0
155	0,9		0
154	0,9		0
153	1,0		0
152	1,1		0
151	1,5		0
150	3,1		0
149	2,2		0
148	1,7		0
147	1,7		0
146	1,8		0
145	1,8		0
144	1,8		0
143	1,8		0
142	1,8		0
141	1,8		0
140	1,8		0
139	3,7		0
138	3,5		0
137	2,5		0
136	2,1		0
135	2,0		0
134	2,1		0
133	1,8		0
132	1,7		0
131	1,7		0
129	1,5		0
128	0,9		0
127	0,6		0
126	0,5		0
125	0,6		0
124	0,6		0
123	0,6		0
122	0,6		0
121	0,5		0
120	0,6		0
119	0,6		0
118	0,7		0

Rapport: Resultatentabel
 Model: 2020
 Resultaten voor model: 2020
 Stof: NO2 - Stikstofdioxide
 Referentiejaar: 2020

Naam	Omschrijving	X coördinaat	Y coördinaat	NO2 Concentratie [$\mu\text{g}/\text{m}^3$]	NO2 Achtergrond [$\mu\text{g}/\text{m}^3$]
117	13-7-2020 117	231103,44	440035,01	12,7	12,0
116	13-7-2020 116	231152,16	440023,49	12,7	12,0
115	13-7-2020 115	231200,09	440008,75	12,6	12,0
114	13-7-2020 114	231247,33	440020,40	12,6	12,0
113	13-7-2020 113	231295,81	440007,74	12,5	12,0
112	13-7-2020 112	231344,20	439994,60	13,1	12,6
111	13-7-2020 111	231388,04	439972,70	13,1	12,6
110	13-7-2020 110	231397,02	439925,64	13,1	12,6
109	13-7-2020 109	231377,15	439879,61	13,2	12,6
108	13-7-2020 108	231355,88	439834,23	13,3	12,6
107	13-7-2020 107	231332,97	439789,62	13,3	12,6
106	13-7-2020 106	231290,65	439760,40	13,5	12,6
105	13-7-2020 105	231312,87	439805,20	13,4	12,6
104	13-7-2020 104	231335,72	439849,71	13,3	12,6
103	13-7-2020 103	231356,67	439895,13	13,2	12,6
102	13-7-2020 102	231374,12	439941,59	13,1	12,6
101	13-7-2020 101	231338,81	439970,16	13,2	12,6
100	13-7-2020 100	231290,52	439983,27	13,2	12,6
99	13-7-2020 99	231242,16	439996,10	13,3	12,6
98	13-7-2020 98	231196,45	439983,71	13,4	12,6
97	13-7-2020 97	231148,63	439998,42	13,4	12,6
96	13-7-2020 96	231100,07	440010,21	12,7	12,0
95	13-7-2020 95	231050,86	440019,26	12,7	12,0
94	13-7-2020 94	231001,65	440028,30	12,7	12,0
93	13-7-2020 93	230952,44	440037,35	13,1	12,4
92	13-7-2020 92	230906,12	440026,28	13,0	12,4
91	13-7-2020 91	230863,77	439999,64	13,0	12,4
90	13-7-2020 90	230821,41	439973,00	13,6	13,0
89	13-7-2020 89	230779,06	439946,36	13,6	13,0
88	13-7-2020 88	230736,70	439919,72	13,6	13,0
87	13-7-2020 87	230695,58	439891,60	13,7	13,0
86	13-7-2020 86	230694,16	439842,74	14,2	13,0
85	13-7-2020 85	230699,43	439792,98	14,9	13,0
84	13-7-2020 84	230704,70	439743,22	14,8	13,0
83	13-7-2020 83	230698,62	439693,79	14,9	13,0
82	13-7-2020 82	230689,61	439644,58	15,1	13,0
81	13-7-2020 81	230680,60	439595,36	15,5	13,0
80	13-7-2020 80	230671,42	439546,17	16,4	13,0
73	13-7-2020 73	230681,13	439244,93	16,5	13,0
72	13-7-2020 72	230727,16	439225,33	16,4	13,0
71	13-7-2020 71	230773,58	439206,69	14,9	13,0
69	13-7-2020 69	230868,07	439173,75	16,5	13,0
68	13-7-2020 68	230915,37	439157,44	16,3	13,0
67	13-7-2020 67	230963,12	439142,48	16,4	13,0
65	13-7-2020 65	231044,66	439158,55	15,1	12,6
64	13-7-2020 64	231064,91	439204,30	14,0	12,6
63	13-7-2020 63	231085,16	439250,06	13,8	12,6
62	13-7-2020 62	231105,41	439295,81	13,7	12,6
61	13-7-2020 61	231125,67	439341,56	13,6	12,6
60	13-7-2020 60	231145,92	439387,32	13,6	12,6
59	13-7-2020 59	231166,17	439433,07	13,6	12,6
58	13-7-2020 58	231185,64	439479,15	13,6	12,6
57	13-7-2020 57	231203,14	439526,02	13,6	12,6
56	13-7-2020 56	231220,64	439572,90	13,6	12,6
55	13-7-2020 55	231238,13	439619,78	13,6	12,6
54	13-7-2020 54	231255,63	439666,65	13,5	12,6
53	13-7-2020 53	231273,13	439713,53	13,5	12,6
52	13-7-2020 52	231278,86	439771,06	13,5	12,6
51	13-7-2020 51	231301,46	439815,83	13,4	12,6
50	13-7-2020 50	231324,38	439860,44	13,3	12,6

Rapport: Resultatentabel
 Model: 2020
 Resultaten voor model: 2020
 Stof: NO2 - Stikstofdioxide
 Referentiejaar: 2020

Naam	NO2 Bronbijdrage [$\mu\text{g}/\text{m}^3$]	NO2 # Overschrijdingen	uur limiet [-]
117	0,7		0
116	0,7		0
115	0,6		0
114	0,6		0
113	0,5		0
112	0,5		0
111	0,5		0
110	0,5		0
109	0,5		0
108	0,6		0
107	0,7		0
106	0,8		0
105	0,7		0
104	0,7		0
103	0,6		0
102	0,5		0
101	0,5		0
100	0,6		0
99	0,6		0
98	0,7		0
97	0,7		0
96	0,7		0
95	0,8		0
94	0,7		0
93	0,7		0
92	0,6		0
91	0,6		0
90	0,6		0
89	0,6		0
88	0,6		0
87	0,6		0
86	1,2		0
85	1,9		0
84	1,8		0
83	1,9		0
82	2,1		0
81	2,5		0
80	3,4		0
73	3,5		0
72	3,4		0
71	1,9		0
69	3,5		0
68	3,3		0
67	3,3		0
65	2,5		0
64	1,4		0
63	1,1		0
62	1,0		0
61	1,0		0
60	1,0		0
59	0,9		0
58	0,9		0
57	0,9		0
56	0,9		0
55	0,9		0
54	0,9		0
53	0,8		0
52	0,9		0
51	0,8		0
50	0,7		0

Rapport: Resultatentabel
 Model: 2020
 Resultaten voor model: 2020
 Stof: NO2 - Stikstofdioxide
 Referentiejaar: 2020

Naam	Omschrijving	X coördinaat	Y coördinaat	NO2 Concentratie [$\mu\text{g}/\text{m}^3$]	NO2 Achtergrond [$\mu\text{g}/\text{m}^3$]
49	13-7-2020 49	231345,10	439906,10	13,2	12,6
48	13-7-2020 48	231352,61	439950,31	13,2	12,6
47	13-7-2020 47	231304,44	439963,95	13,2	12,6
46	13-7-2020 46	231256,04	439977,09	13,3	12,6
45	13-7-2020 45	231211,49	439964,05	13,4	12,6
44	13-7-2020 44	231163,45	439978,17	13,4	12,6
43	13-7-2020 43	231115,32	439992,15	13,4	12,6
42	13-7-2020 42	231065,99	440001,23	12,8	12,0
41	13-7-2020 41	231016,66	440010,29	12,8	12,0
40	13-7-2020 40	230967,33	440019,36	13,1	12,4
39	13-7-2020 39	230919,59	440017,02	13,1	12,4
38	13-7-2020 38	230877,13	439990,32	13,7	13,0
37	13-7-2020 37	230834,67	439963,62	13,7	13,0
36	13-7-2020 36	230792,22	439936,92	13,7	13,0
35	13-7-2020 35	230749,76	439910,22	13,7	13,0
34	13-7-2020 34	230708,07	439882,58	13,7	13,0
32	13-7-2020 32	230715,53	439783,42	14,5	13,0
31	13-7-2020 31	230720,25	439733,52	14,5	13,0
30	13-7-2020 30	230712,09	439684,09	14,6	13,0
29	13-7-2020 29	230703,06	439634,76	14,7	13,0
28	13-7-2020 28	230694,03	439585,43	15,3	13,0
27	13-7-2020 27	230684,46	439536,20	15,4	13,0
26	13-7-2020 26	230672,83	439487,41	15,5	13,0
25	13-7-2020 25	230661,19	439438,63	15,6	13,0
24	13-7-2020 24	230649,55	439389,84	15,7	13,0
23	13-7-2020 23	230637,92	439341,05	16,0	13,0
13	13-7-2020 13	231032,33	439167,76	14,9	12,6
12	13-7-2020 12	231052,63	439213,62	14,0	12,6
11	13-7-2020 11	231072,93	439259,49	13,8	12,6
10	13-7-2020 10	231093,23	439305,35	13,7	12,6
9	13-7-2020 9	231113,53	439351,21	13,7	12,6
8	13-7-2020 8	231133,83	439397,08	13,7	12,6
7	13-7-2020 7	231154,13	439442,94	13,6	12,6
6	13-7-2020 6	231173,40	439489,23	13,7	12,6
5	13-7-2020 5	231190,93	439536,22	13,7	12,6
4	13-7-2020 4	231208,47	439583,21	13,7	12,6
3	13-7-2020 3	231226,01	439630,19	13,6	12,6
2	13-7-2020 2	231243,55	439677,18	13,6	12,6
1	13-7-2020 1	231261,09	439724,17	13,6	12,6

Rapport: Resultatentabel
 Model: 2020
 Resultaten voor model: 2020
 Stof: NO2 - Stikstofdioxide
 Referentiejaar: 2020

Naam	NO2 Bronbijdrage [$\mu\text{g}/\text{m}^3$]	NO2 # Overschrijdingen	uur limiet [-]
49	0,6		0
48	0,5		0
47	0,6		0
46	0,7		0
45	0,7		0
44	0,8		0
43	0,8		0
42	0,8		0
41	0,8		0
40	0,7		0
39	0,7		0
38	0,7		0
37	0,7		0
36	0,7		0
35	0,7		0
34	0,7		0
32	1,5		0
31	1,4		0
30	1,5		0
29	1,7		0
28	2,3		0
27	2,4		0
26	2,5		0
25	2,6		0
24	2,7		0
23	3,0		0
13	2,3		0
12	1,4		0
11	1,2		0
10	1,1		0
9	1,0		0
8	1,0		0
7	1,0		0
6	1,0		0
5	1,0		0
4	1,0		0
3	1,0		0
2	0,9		0
1	0,9		0

Rapport: Resultatentabel
 Model: 2020
 Resultaten voor model: 2020
 Stof: PM10 - Fijnstof
 Zeezoutcorrectie: Nee
 Referentiejaar: 2020

Naam	Omschrijving	X coördinaat	Y coördinaat	PM10 Concentratie [$\mu\text{g}/\text{m}^3$]	PM10 Achtergrond [$\mu\text{g}/\text{m}^3$]
		230680,75	439578,91	21,0	20,4
		230683,37	439624,63	20,9	20,4
		230690,48	439674,12	20,9	20,4
		230697,59	439723,61	20,9	20,4
		230696,93	439773,44	20,9	20,4
		230701,56	439816,19	20,9	20,4
		230699,38	439836,21	20,8	20,4
		230674,92	439807,62	20,8	20,4
		230677,81	439757,70	20,8	20,4
		230675,15	439708,02	20,8	20,4
		230668,03	439658,53	20,9	20,4
		230660,92	439609,04	20,9	20,4
		230653,44	439559,61	20,9	20,4
		230644,75	439510,37	20,9	20,4
		230635,08	439461,34	20,9	20,4
		230622,55	439412,94	20,9	20,4
		230608,48	439364,96	21,0	20,4
		230593,96	439317,67	21,2	20,4
		230544,93	439326,93	21,1	20,4
		230497,88	439343,76	21,1	20,4
		230451,70	439362,91	21,0	20,4
		230405,51	439382,06	21,0	20,4
		230359,71	439402,11	21,0	20,4
		230314,27	439422,97	21,0	20,4
		230269,35	439444,88	21,0	20,4
		230225,20	439468,36	21,0	20,4
		230183,60	439496,09	21,0	20,4
		230142,50	439524,50	20,9	20,4
		230104,05	439556,46	20,9	20,4
		230067,19	439590,15	20,9	20,4
		230032,14	439625,81	20,9	20,4
		229997,09	439661,47	20,6	20,2
		229987,72	439642,47	20,5	20,2
		230022,77	439606,81	20,7	20,4
		230057,82	439571,15	20,8	20,4
		230095,08	439537,91	20,8	20,4
		230133,53	439505,94	20,8	20,4
		230174,88	439477,86	20,8	20,4
		230216,58	439450,29	20,8	20,4
		230260,73	439426,82	20,8	20,4
		230305,66	439404,92	20,8	20,4
		230351,10	439384,06	20,8	20,4
		230396,88	439363,99	20,8	20,4
		230443,07	439344,84	20,9	20,4
		230489,26	439325,69	20,9	20,4
		230536,26	439308,73	20,9	20,4
		230585,13	439298,81	21,0	20,4
		230625,35	439271,73	20,9	20,4
		230670,01	439250,14	20,9	20,4
		230716,30	439231,24	20,9	20,4
		230762,46	439212,05	20,9	20,4
		230809,08	439194,04	20,9	20,4
		230856,34	439177,73	20,9	20,4
		230903,91	439162,35	20,9	20,4
		230951,49	439146,97	20,9	20,4
		230999,07	439131,59	20,9	20,4
		231046,47	439115,70	17,9	17,4
		231093,84	439099,70	17,9	17,4
		231141,27	439083,85	17,9	17,4

Rapport: Resultatentabel
 Model: 2020
 Resultaten voor model: 2020
 Stof: PM10 - Fijnstof
 Zeezoutcorrectie: Nee
 Referentiejaar: 2020

Naam	PM10 Bronbijdrage [$\mu\text{g}/\text{m}^3$]	PM10 # Overschrijdingen 24 uur limiet [-]
	0,6	9
	0,6	9
	0,6	8
	0,6	8
	0,5	8
	0,5	8
	0,5	9
	0,4	9
	0,5	9
	0,5	9
	0,5	9
	0,5	9
	0,6	9
	0,6	9
	0,6	9
	0,6	9
	0,6	9
	0,6	9
	0,6	9
	0,8	9
	0,7	9
	0,7	9
	0,7	9
	0,6	9
	0,6	9
	0,6	9
	0,6	9
	0,6	9
	0,6	9
	0,6	9
	0,5	9
	0,4	8
	0,3	8
	0,4	9
	0,4	9
	0,4	9
	0,4	9
	0,4	9
	0,4	9
	0,5	9
	0,5	9
	0,5	9
	0,5	9
	0,5	9
	0,6	9
	0,6	9
	0,6	9
	0,6	9
	0,6	8
	0,6	8
	0,6	8
	0,6	8
	0,6	8
	0,5	8
	0,5	8
	0,5	6
	0,5	6
	0,4	6

Rapport: Resultatentabel
 Model: 2020
 Resultaten voor model: 2020
 Stof: PM10 - Fijnstof
 Zeezoutcorrectie: Nee
 Referentiejaar: 2020

Naam	Omschrijving	X coördinaat	Y coördinaat	PM10 Concentratie [$\mu\text{g}/\text{m}^3$]	PM10 Achtergrond [$\mu\text{g}/\text{m}^3$]
		231188,86	439068,54	17,9	17,4
		231236,68	439054,01	17,9	17,4
		231285,73	439044,66	17,9	17,4
		231335,34	439039,05	17,8	17,4
		231385,33	439039,85	17,8	17,4
		231435,27	439037,49	17,8	17,4
		231484,69	439030,00	17,8	17,4
		231534,25	439023,45	17,8	17,4
		231548,69	439041,79	17,8	17,4
		231499,08	439048,03	17,7	17,4
		231449,69	439055,77	17,9	17,4
		231399,86	439059,43	18,0	17,4
		231349,88	439059,29	18,0	17,4
		231300,15	439062,88	18,0	17,4
		231250,89	439071,09	18,0	17,4
		231202,90	439085,04	18,0	17,4
		231155,30	439100,35	18,0	17,4
		231107,84	439116,08	18,0	17,4
		231060,47	439132,08	18,1	17,4
		231013,10	439148,07	18,1	17,4
		230965,52	439163,45	21,0	20,4
		230917,95	439178,83	21,1	20,4
		230870,37	439194,21	21,1	20,4
		230823,06	439210,37	21,1	20,4
		230776,26	439227,89	21,1	20,4
		230730,14	439247,19	21,1	20,4
		230683,85	439266,09	21,1	20,4
		230638,62	439286,69	21,1	20,4
		230617,49	439324,64	21,1	20,4
		230631,57	439372,62	21,0	20,4
		230645,48	439420,64	21,0	20,4
		230657,66	439469,14	21,0	20,4
		230666,47	439518,35	21,0	20,4
		230682,26	439558,86	21,0	20,4
452	13-7-2020 452	231512,05	439700,53	17,7	17,4
451	13-7-2020 451	231534,95	439745,12	17,7	17,4
450	13-7-2020 450	231556,41	439790,39	17,7	17,4
449	13-7-2020 449	231576,56	439836,29	17,7	17,4
448	13-7-2020 448	231592,85	439883,60	17,6	17,4
447	13-7-2020 447	231599,46	439933,20	17,6	17,4
446	13-7-2020 446	231596,06	439983,11	17,6	17,4
445	13-7-2020 445	231582,81	440031,35	17,4	17,2
444	13-7-2020 444	231560,23	440076,00	17,4	17,2
443	13-7-2020 443	231529,17	440115,23	17,4	17,2
442	13-7-2020 442	231490,96	440147,54	17,4	17,2
441	13-7-2020 441	231447,02	440171,48	17,4	17,2
440	13-7-2020 440	231399,38	440186,86	17,4	17,2
439	13-7-2020 439	231351,01	440199,99	17,4	17,2
438	13-7-2020 438	231302,63	440213,11	17,4	17,2
437	13-7-2020 437	231253,22	440221,01	17,5	17,2
436	13-7-2020 436	231203,23	440218,95	17,5	17,2
435	13-7-2020 435	231154,27	440229,02	17,5	17,2
434	13-7-2020 434	231104,97	440238,08	17,5	17,2
433	13-7-2020 433	231055,68	440247,14	17,5	17,2
432	13-7-2020 432	231006,38	440256,20	17,5	17,2
431	13-7-2020 431	230956,91	440264,09	17,9	17,6
430	13-7-2020 430	230906,88	440263,42	17,9	17,6
429	13-7-2020 429	230857,99	440252,81	17,8	17,6
428	13-7-2020 428	230812,19	440232,66	17,8	17,6

Rapport: Resultatentabel
 Model: 2020
 Resultaten voor model: 2020
 Stof: PM10 - Fijnstof
 Zeezoutcorrectie: Nee
 Referentiejaar: 2020

Naam	PM10 Bronbijdrage [$\mu\text{g}/\text{m}^3$]	PM10 # Overschrijdingen 24 uur limiet [-]
	0,4	6
	0,4	6
	0,4	6
	0,4	6
	0,4	6
	0,4	6
	0,4	6
	0,3	6
	0,4	6
	0,3	6
	0,5	6
	0,5	6
	0,5	6
	0,5	6
	0,5	6
	0,6	6
	0,6	6
	0,6	6
	0,6	6
	0,6	6
	0,7	8
	0,7	8
	0,7	8
	0,7	9
	0,7	9
	0,7	9
	0,7	9
	0,7	9
	0,7	9
	0,7	9
	0,6	8
	0,6	8
	0,6	8
	0,7	8
	0,6	8
452	0,2	6
451	0,2	6
450	0,2	6
449	0,2	6
448	0,2	6
447	0,2	6
446	0,2	6
445	0,2	6
444	0,2	6
443	0,2	6
442	0,2	6
441	0,2	6
440	0,2	6
439	0,3	6
438	0,3	6
437	0,3	6
436	0,3	6
435	0,3	6
434	0,3	6
433	0,3	6
432	0,3	6
431	0,2	6
430	0,2	6
429	0,2	6
428	0,2	6

Rapport: Resultatentabel
 Model: 2020
 Resultaten voor model: 2020
 Stof: PM10 - Fijnstof
 Zeezoutcorrectie: Nee
 Referentiejaar: 2020

Naam	Omschrijving	X coördinaat	Y coördinaat	PM10 Concentratie [$\mu\text{g}/\text{m}^3$]	PM10 Achtergrond [$\mu\text{g}/\text{m}^3$]
427	13-7-2020 427	230769,61	440206,22	17,8	17,6
426	13-7-2020 426	230727,18	440179,54	17,8	17,6
425	13-7-2020 425	230684,75	440152,85	17,8	17,6
424	13-7-2020 424	230642,33	440126,17	17,8	17,6
423	13-7-2020 423	230599,90	440099,48	17,8	17,6
422	13-7-2020 422	230558,47	440071,34	17,8	17,6
421	13-7-2020 421	230522,90	440036,14	17,8	17,6
420	13-7-2020 420	230495,07	439994,56	20,5	20,4
419	13-7-2020 419	230476,08	439948,27	20,5	20,4
418	13-7-2020 418	230466,69	439899,12	20,5	20,4
417	13-7-2020 417	230467,25	439849,08	20,6	20,4
416	13-7-2020 416	230472,51	439799,24	20,6	20,4
415	13-7-2020 415	230477,79	439749,39	20,6	20,4
414	13-7-2020 414	230471,00	439699,91	20,6	20,4
413	13-7-2020 413	230461,97	439650,61	20,6	20,4
412	13-7-2020 412	230452,94	439601,30	20,6	20,4
411	13-7-2020 411	230441,61	439552,49	20,6	20,4
410	13-7-2020 410	230429,99	439503,73	20,6	20,4
409	13-7-2020 409	230418,36	439454,98	20,6	20,4
408	13-7-2020 408	230406,73	439406,22	20,8	20,4
407	13-7-2020 407	230395,10	439357,47	20,8	20,4
406	13-7-2020 406	230386,89	439308,10	20,6	20,4
405	13-7-2020 405	230388,52	439258,08	20,6	20,4
404	13-7-2020 404	230400,10	439209,41	20,5	20,4
403	13-7-2020 403	230421,12	439164,00	20,5	20,4
402	13-7-2020 402	230450,76	439123,69	20,5	20,4
401	13-7-2020 401	230487,86	439090,12	20,5	20,4
400	13-7-2020 400	230530,85	439064,53	20,5	20,4
399	13-7-2020 399	230576,91	439044,76	20,5	20,4
398	13-7-2020 398	230623,03	439025,12	20,5	20,4
397	13-7-2020 397	230669,15	439005,50	20,5	20,4
396	13-7-2020 396	230716,25	438988,40	17,3	17,2
395	13-7-2020 395	230763,58	438971,90	17,3	17,2
394	13-7-2020 394	230810,91	438955,40	17,3	17,2
393	13-7-2020 393	230858,43	438939,49	17,3	17,2
392	13-7-2020 392	230906,26	438924,51	17,3	17,2
391	13-7-2020 391	230954,23	438910,00	17,3	17,2
390	13-7-2020 390	231003,74	438902,82	17,1	17,0
389	13-7-2020 389	231053,70	438905,63	17,1	17,0
388	13-7-2020 388	231102,10	438918,34	17,1	17,0
387	13-7-2020 387	231146,98	438940,45	17,1	17,0
386	13-7-2020 386	231186,58	438971,05	17,1	17,0
385	13-7-2020 385	231219,28	439008,92	17,6	17,4
383	13-7-2020 383	231264,08	439098,37	17,8	17,4
382	13-7-2020 382	231284,37	439144,21	17,7	17,4
381	13-7-2020 381	231304,65	439190,04	17,7	17,4
380	13-7-2020 380	231324,94	439235,87	17,7	17,4
379	13-7-2020 379	231345,23	439281,71	17,7	17,4
378	13-7-2020 378	231365,51	439327,54	17,7	17,5
377	13-7-2020 377	231385,80	439373,37	17,7	17,4
376	13-7-2020 376	231403,78	439420,15	17,7	17,4
375	13-7-2020 375	231421,31	439467,10	17,7	17,4
374	13-7-2020 374	231438,84	439514,06	17,7	17,4
373	13-7-2020 373	231456,36	439561,02	17,7	17,4
372	13-7-2020 372	231473,89	439607,98	17,7	17,4
371	13-7-2020 371	231491,42	439654,94	17,7	17,4
370	13-7-2020 370	231377,82	439493,58	17,7	17,4
369	13-7-2020 369	231395,52	439541,00	17,7	17,4
368	13-7-2020 368	231413,22	439588,42	17,7	17,4

Rapport: Resultatentabel
 Model: 2020
 Resultaten voor model: 2020
 Stof: PM10 - Fijnstof
 Zeezoutcorrectie: Nee
 Referentiejaar: 2020

Naam	PM10 Bronbijdrage [$\mu\text{g}/\text{m}^3$]	PM10 # Overschrijdingen 24 uur limiet [-]
427	0,2	6
426	0,2	6
425	0,2	6
424	0,2	6
423	0,2	6
422	0,2	6
421	0,2	6
420	0,2	8
419	0,2	8
418	0,2	8
417	0,2	8
416	0,2	8
415	0,2	8
414	0,2	8
413	0,2	8
412	0,2	8
411	0,2	8
410	0,2	8
409	0,3	8
408	0,4	8
407	0,4	8
406	0,2	8
405	0,2	8
404	0,2	8
403	0,2	8
402	0,2	8
401	0,2	8
400	0,2	8
399	0,2	8
398	0,2	8
397	0,2	8
396	0,2	6
395	0,2	6
394	0,2	6
393	0,1	6
392	0,1	6
391	0,1	6
390	0,1	6
389	0,1	6
388	0,1	6
387	0,1	6
386	0,2	6
385	0,2	6
383	0,3	6
382	0,3	6
381	0,2	6
380	0,2	6
379	0,2	6
378	0,2	6
377	0,2	6
376	0,2	6
375	0,3	6
374	0,3	6
373	0,3	6
372	0,3	6
371	0,2	6
370	0,3	6
369	0,3	6
368	0,3	6

Rapport: Resultatentabel
 Model: 2020
 Resultaten voor model: 2020
 Stof: PM10 - Fijnstof
 Zeezoutcorrectie: Nee
 Referentiejaar: 2020

Naam	Omschrijving	X coördinaat	Y coördinaat	PM10 Concentratie [$\mu\text{g}/\text{m}^3$]	PM10 Achtergrond [$\mu\text{g}/\text{m}^3$]
367	13-7-2020 367	231430,92	439635,85	17,7	17,4
366	13-7-2020 366	231448,62	439683,27	17,7	17,4
365	13-7-2020 365	231470,41	439728,90	17,7	17,4
364	13-7-2020 364	231493,53	439773,92	17,7	17,4
363	13-7-2020 363	231514,74	439819,86	17,7	17,4
362	13-7-2020 362	231535,00	439866,25	17,7	17,4
361	13-7-2020 361	231547,87	439915,06	17,7	17,4
360	13-7-2020 360	231548,13	439965,54	17,7	17,4
359	13-7-2020 359	231535,70	440014,46	17,4	17,2
358	13-7-2020 358	231511,51	440058,76	17,4	17,2
357	13-7-2020 357	231476,90	440095,51	17,4	17,2
356	13-7-2020 356	231434,23	440122,46	17,4	17,2
355	13-7-2020 355	231386,34	440138,59	17,4	17,2
354	13-7-2020 354	231337,49	440151,85	17,5	17,2
353	13-7-2020 353	231288,63	440165,04	17,5	17,2
352	13-7-2020 352	231238,56	440171,43	17,5	17,2
351	13-7-2020 351	231188,30	440169,31	17,5	17,2
350	13-7-2020 350	231139,10	440180,97	17,5	17,2
349	13-7-2020 349	231089,32	440190,12	17,5	17,2
348	13-7-2020 348	231039,54	440199,27	17,5	17,2
347	13-7-2020 347	230989,75	440208,42	17,9	17,6
346	13-7-2020 346	230939,64	440215,00	17,9	17,6
345	13-7-2020 345	230889,43	440209,73	17,9	17,6
344	13-7-2020 344	230842,15	440192,05	17,9	17,6
343	13-7-2020 343	230798,99	440165,63	17,9	17,6
342	13-7-2020 342	230756,14	440138,68	17,9	17,6
341	13-7-2020 341	230713,30	440111,74	17,9	17,6
340	13-7-2020 340	230670,45	440084,79	17,8	17,6
339	13-7-2020 339	230627,60	440057,84	17,8	17,6
338	13-7-2020 338	230585,97	440029,16	17,8	17,6
337	13-7-2020 337	230552,00	439991,82	20,6	20,4
336	13-7-2020 336	230528,42	439947,19	20,6	20,4
335	13-7-2020 335	230516,81	439898,06	20,6	20,4
334	13-7-2020 334	230517,68	439847,56	20,6	20,4
333	13-7-2020 333	230523,00	439797,23	20,6	20,4
332	13-7-2020 332	230528,29	439746,89	20,6	20,4
331	13-7-2020 331	230521,29	439696,96	20,6	20,4
330	13-7-2020 330	230512,17	439647,17	20,6	20,4
329	13-7-2020 329	230503,06	439597,38	20,6	20,4
328	13-7-2020 328	230491,95	439548,01	20,6	20,4
327	13-7-2020 327	230480,20	439498,77	20,6	20,4
326	13-7-2020 326	230468,46	439449,53	20,7	20,4
325	13-7-2020 325	230456,72	439400,30	20,7	20,4
323	13-7-2020 323	230436,61	439301,24	20,6	20,4
322	13-7-2020 322	230440,46	439250,91	20,6	20,4
321	13-7-2020 321	230456,82	439203,17	20,6	20,4
320	13-7-2020 320	230484,57	439161,01	20,6	20,4
319	13-7-2020 319	230521,97	439127,11	20,6	20,4
318	13-7-2020 318	230566,61	439103,48	20,6	20,4
317	13-7-2020 317	230613,18	439083,66	20,6	20,4
316	13-7-2020 316	230659,76	439063,83	20,6	20,4
315	13-7-2020 315	230706,61	439044,71	20,6	20,4
314	13-7-2020 314	230754,41	439028,05	20,6	20,4
313	13-7-2020 313	230802,20	439011,39	20,6	20,4
312	13-7-2020 312	230850,00	438994,73	17,4	17,2
311	13-7-2020 311	230898,24	438979,42	17,4	17,2
310	13-7-2020 310	230946,55	438964,29	17,3	17,2
309	13-7-2020 309	230995,88	438953,50	17,3	17,2
308	13-7-2020 308	231046,32	438955,11	17,1	17,0

Rapport: Resultatentabel
 Model: 2020
 Resultaten voor model: 2020
 Stof: PM10 - Fijnstof
 Zeezoutcorrectie: Nee
 Referentiejaar: 2020

Naam	PM10 Bronbijdrage [$\mu\text{g}/\text{m}^3$]	PM10 # Overschrijdingen 24 uur limiet [-]
367	0,3	6
366	0,3	6
365	0,3	6
364	0,3	6
363	0,2	6
362	0,2	6
361	0,2	6
360	0,2	6
359	0,2	6
358	0,2	6
357	0,2	6
356	0,2	6
355	0,3	6
354	0,3	6
353	0,3	6
352	0,3	6
351	0,3	6
350	0,3	6
349	0,3	6
348	0,3	6
347	0,3	6
346	0,3	6
345	0,3	6
344	0,3	6
343	0,2	6
342	0,2	6
341	0,2	6
340	0,2	6
339	0,2	6
338	0,2	6
337	0,2	8
336	0,2	8
335	0,2	8
334	0,2	8
333	0,2	8
332	0,2	8
331	0,2	8
330	0,3	8
329	0,3	8
328	0,3	8
327	0,3	8
326	0,3	8
325	0,4	8
323	0,3	8
322	0,2	8
321	0,2	8
320	0,2	8
319	0,2	8
318	0,2	8
317	0,2	8
316	0,2	8
315	0,2	8
314	0,2	8
313	0,2	8
312	0,2	6
311	0,2	6
310	0,2	6
309	0,2	6
308	0,2	6

Rapport: Resultatentabel
 Model: 2020
 Resultaten voor model: 2020
 Stof: PM10 - Fijnstof
 Zeezoutcorrectie: Nee
 Referentiejaar: 2020

Naam	Omschrijving	X coördinaat	Y coördinaat	PM10 Concentratie [$\mu\text{g}/\text{m}^3$]	PM10 Achtergrond [$\mu\text{g}/\text{m}^3$]
307	13-7-2020 307	231094,76	438969,32	17,1	17,0
306	13-7-2020 306	231138,09	438995,21	17,2	17,0
305	13-7-2020 305	231173,55	439031,13	17,7	17,4
303	13-7-2020 303	231219,44	439121,05	17,8	17,4
302	13-7-2020 302	231239,92	439167,33	17,7	17,4
301	13-7-2020 301	231260,41	439213,62	17,7	17,4
300	13-7-2020 300	231280,90	439259,90	17,7	17,4
299	13-7-2020 299	231301,38	439306,19	17,7	17,4
298	13-7-2020 298	231321,87	439352,47	17,7	17,4
297	13-7-2020 297	231342,28	439398,79	17,7	17,4
296	13-7-2020 296	231360,12	439446,16	17,7	17,4
295	13-7-2020 295	231367,49	439608,88	17,8	17,4
294	13-7-2020 294	231349,84	439561,59	17,8	17,4
293	13-7-2020 293	231332,19	439514,30	17,8	17,4
292	13-7-2020 292	231314,54	439467,01	17,8	17,5
291	13-7-2020 291	231296,82	439419,75	17,8	17,4
290	13-7-2020 290	231276,52	439373,54	17,8	17,4
289	13-7-2020 289	231256,09	439327,38	17,8	17,4
288	13-7-2020 288	231235,66	439281,22	17,7	17,4
287	13-7-2020 287	231215,23	439235,07	17,7	17,4
286	13-7-2020 286	231194,80	439188,91	17,7	17,4
285	13-7-2020 285	231174,37	439142,75	17,8	17,4
283	13-7-2020 283	231127,56	439053,82	17,7	17,4
282	13-7-2020 282	231088,63	439022,08	17,6	17,4
281	13-7-2020 281	231041,40	439004,95	17,6	17,4
280	13-7-2020 280	230991,15	439004,40	20,6	20,4
279	13-7-2020 279	230942,58	439017,93	20,6	20,4
278	13-7-2020 278	230894,41	439033,02	20,6	20,4
277	13-7-2020 277	230846,50	439048,90	20,6	20,4
276	13-7-2020 276	230798,83	439065,51	20,6	20,4
275	13-7-2020 275	230751,17	439082,13	20,6	20,4
274	13-7-2020 274	230703,77	439099,44	20,6	20,4
273	13-7-2020 273	230657,33	439119,21	20,6	20,4
272	13-7-2020 272	230610,88	439138,98	20,6	20,4
271	13-7-2020 271	230564,76	439159,44	20,6	20,4
270	13-7-2020 270	230525,28	439190,48	20,6	20,4
269	13-7-2020 269	230498,25	439232,81	20,6	20,4
268	13-7-2020 268	230486,70	439281,67	20,6	20,4
266	13-7-2020 266	230503,46	439380,77	20,8	20,4
265	13-7-2020 265	230515,17	439429,87	20,7	20,4
264	13-7-2020 264	230526,88	439478,96	20,7	20,4
263	13-7-2020 263	230538,59	439528,06	20,7	20,4
262	13-7-2020 262	230550,18	439577,19	20,7	20,4
261	13-7-2020 261	230559,28	439626,84	20,7	20,4
260	13-7-2020 260	230568,37	439676,49	20,7	20,4
259	13-7-2020 259	230577,46	439726,14	20,6	20,4
258	13-7-2020 258	230575,51	439776,22	20,6	20,4
257	13-7-2020 257	230570,19	439826,42	20,6	20,4
256	13-7-2020 256	230565,71	439876,67	20,6	20,4
255	13-7-2020 255	230574,02	439926,22	20,6	20,4
254	13-7-2020 254	230598,22	439970,25	20,6	20,4
253	13-7-2020 253	230635,61	440003,80	17,9	17,6
252	13-7-2020 252	230678,34	440030,68	17,9	17,6
251	13-7-2020 251	230721,06	440057,55	17,9	17,6
250	13-7-2020 250	230763,79	440084,43	17,9	17,6
249	13-7-2020 249	230806,52	440111,30	17,9	17,6
248	13-7-2020 248	230849,25	440138,17	17,9	17,6
247	13-7-2020 247	230894,78	440159,45	17,9	17,6
246	13-7-2020 246	230944,73	440164,70	18,0	17,6

Rapport: Resultatentabel
 Model: 2020
 Resultaten voor model: 2020
 Stof: PM10 - Fijnstof
 Zeezoutcorrectie: Nee
 Referentiejaar: 2020

Naam	PM10 Bronbijdrage [$\mu\text{g}/\text{m}^3$]	PM10 # Overschrijdingen 24 uur limiet [-]
307	0,2	6
306	0,2	6
305	0,2	6
303	0,3	6
302	0,3	6
301	0,3	6
300	0,3	6
299	0,3	6
298	0,3	6
297	0,3	6
296	0,3	6
295	0,3	6
294	0,3	6
293	0,3	6
292	0,3	6
291	0,3	6
290	0,3	6
289	0,3	6
288	0,3	6
287	0,3	6
286	0,3	6
285	0,3	6
283	0,3	6
282	0,2	6
281	0,2	6
280	0,2	8
279	0,2	8
278	0,2	8
277	0,2	8
276	0,2	8
275	0,2	8
274	0,2	8
273	0,2	8
272	0,2	8
271	0,2	8
270	0,2	8
269	0,2	8
268	0,3	8
266	0,4	8
265	0,3	8
264	0,3	8
263	0,3	8
262	0,3	8
261	0,3	8
260	0,3	8
259	0,3	8
258	0,3	8
257	0,2	8
256	0,2	8
255	0,2	8
254	0,2	8
253	0,2	6
252	0,2	6
251	0,3	6
250	0,3	6
249	0,3	6
248	0,3	6
247	0,3	6
246	0,3	6

Rapport: Resultatentabel
 Model: 2020
 Resultaten voor model: 2020
 Stof: PM10 - Fijnstof
 Zeezoutcorrectie: Nee
 Referentiejaar: 2020

Naam	Omschrijving	X coördinaat	Y coördinaat	PM10 Concentratie [$\mu\text{g}/\text{m}^3$]	PM10 Achtergrond [$\mu\text{g}/\text{m}^3$]
245	13-7-2020 245	230994,54	440156,70	18,0	17,6
244	13-7-2020 244	231044,18	440147,58	17,6	17,2
243	13-7-2020 243	231093,83	440138,45	17,6	17,2
242	13-7-2020 242	231143,47	440129,31	17,6	17,2
241	13-7-2020 241	231192,10	440116,14	17,6	17,2
240	13-7-2020 240	231242,17	440121,41	17,5	17,2
239	13-7-2020 239	231291,69	440112,47	17,5	17,2
238	13-7-2020 238	231340,40	440099,25	17,5	17,2
237	13-7-2020 237	231389,11	440086,01	17,5	17,2
236	13-7-2020 236	231434,62	440064,77	17,4	17,2
235	13-7-2020 235	231470,69	440029,81	17,4	17,2
234	13-7-2020 234	231493,09	439984,86	17,7	17,4
233	13-7-2020 233	231499,45	439935,04	17,7	17,4
232	13-7-2020 232	231488,99	439885,90	17,7	17,4
231	13-7-2020 231	231468,82	439839,64	17,7	17,4
230	13-7-2020 230	231447,57	439793,87	17,8	17,4
229	13-7-2020 229	231424,51	439748,97	17,8	17,4
228	13-7-2020 228	231402,79	439703,46	17,8	17,5
227	13-7-2020 227	231385,14	439656,17	17,8	17,4
226	13-7-2020 226	231355,69	439720,25	17,8	17,4
225	13-7-2020 225	231338,09	439673,11	17,8	17,4
224	13-7-2020 224	231320,50	439625,97	17,8	17,5
223	13-7-2020 223	231302,91	439578,84	17,8	17,4
222	13-7-2020 222	231285,31	439531,70	17,8	17,5
221	13-7-2020 221	231267,72	439484,57	17,8	17,4
220	13-7-2020 220	231250,07	439437,45	17,8	17,4
219	13-7-2020 219	231229,76	439391,43	17,8	17,4
218	13-7-2020 218	231209,39	439345,42	17,8	17,4
217	13-7-2020 217	231189,03	439299,41	17,8	17,4
216	13-7-2020 216	231168,66	439253,41	17,8	17,4
215	13-7-2020 215	231148,30	439207,40	17,8	17,4
214	13-7-2020 214	231127,94	439161,39	17,8	17,4
212	13-7-2020 212	231078,06	439075,29	17,7	17,4
211	13-7-2020 211	231032,94	439054,27	17,7	17,4
210	13-7-2020 210	230983,27	439057,62	20,6	20,4
209	13-7-2020 209	230935,24	439072,62	20,6	20,4
208	13-7-2020 208	230887,25	439087,73	20,6	20,4
207	13-7-2020 207	230839,72	439104,21	20,6	20,4
206	13-7-2020 206	230792,21	439120,77	20,6	20,4
205	13-7-2020 205	230744,70	439137,33	20,6	20,4
204	13-7-2020 204	230698,08	439156,20	20,6	20,4
203	13-7-2020 203	230651,79	439175,91	20,6	20,4
202	13-7-2020 202	230605,50	439195,61	20,6	20,4
201	13-7-2020 201	230563,66	439222,71	20,6	20,4
200	13-7-2020 200	230539,53	439266,23	20,7	20,4
198	13-7-2020 198	230551,10	439364,96	20,8	20,4
197	13-7-2020 197	230562,77	439413,90	20,7	20,4
196	13-7-2020 196	230574,44	439462,84	20,7	20,4
195	13-7-2020 195	230586,11	439511,78	20,7	20,4
194	13-7-2020 194	230597,76	439560,72	20,7	20,4
193	13-7-2020 193	230607,06	439610,16	20,7	20,4
192	13-7-2020 192	230616,12	439659,65	20,7	20,4
191	13-7-2020 191	230625,18	439709,14	20,7	20,4
190	13-7-2020 190	230627,61	439758,94	20,7	20,4
189	13-7-2020 189	230622,32	439808,97	20,7	20,4
188	13-7-2020 188	230617,03	439859,00	20,6	20,4
187	13-7-2020 187	230620,89	439908,70	20,6	20,4
186	13-7-2020 186	230647,93	439950,50	20,6	20,4
185	13-7-2020 185	230689,54	439978,66	20,6	20,4

Rapport: Resultatentabel
 Model: 2020
 Resultaten voor model: 2020
 Stof: PM10 - Fijnstof
 Zeezoutcorrectie: Nee
 Referentiejaar: 2020

Naam	PM10 Bronbijdrage [$\mu\text{g}/\text{m}^3$]	PM10 # Overschrijdingen 24 uur limiet [-]
245	0,4	6
244	0,4	6
243	0,4	6
242	0,4	6
241	0,4	6
240	0,4	6
239	0,3	6
238	0,3	6
237	0,3	6
236	0,3	6
235	0,2	6
234	0,2	6
233	0,2	6
232	0,3	6
231	0,3	6
230	0,3	6
229	0,3	6
228	0,3	6
227	0,3	6
226	0,4	6
225	0,4	6
224	0,4	6
223	0,4	6
222	0,4	6
221	0,4	6
220	0,4	6
219	0,4	6
218	0,4	6
217	0,3	6
216	0,3	6
215	0,3	6
214	0,3	6
212	0,3	6
211	0,2	6
210	0,2	8
209	0,2	8
208	0,3	8
207	0,3	8
206	0,3	8
205	0,3	8
204	0,3	8
203	0,3	8
202	0,3	8
201	0,3	8
200	0,3	8
198	0,4	9
197	0,4	8
196	0,4	8
195	0,4	8
194	0,4	8
193	0,4	9
192	0,4	8
191	0,4	8
190	0,3	8
189	0,3	8
188	0,3	8
187	0,3	8
186	0,3	8
185	0,3	8

Rapport: Resultatentabel
 Model: 2020
 Resultaten voor model: 2020
 Stof: PM10 - Fijnstof
 Zeezoutcorrectie: Nee
 Referentiejaar: 2020

Naam	Omschrijving	X coördinaat	Y coördinaat	PM10 Concentratie [$\mu\text{g}/\text{m}^3$]	PM10 Achtergrond [$\mu\text{g}/\text{m}^3$]
184	13-7-2020 184	230732,12	440005,44	17,9	17,6
183	13-7-2020 183	230774,71	440032,23	17,9	17,6
182	13-7-2020 182	230817,30	440059,01	18,0	17,6
181	13-7-2020 181	230859,89	440085,80	18,0	17,6
180	13-7-2020 180	230903,86	440109,93	18,0	17,6
179	13-7-2020 179	230953,52	440113,38	18,0	17,6
178	13-7-2020 178	231003,00	440104,31	17,6	17,2
177	13-7-2020 177	231052,49	440095,22	17,6	17,2
176	13-7-2020 176	231101,97	440086,12	17,6	17,2
175	13-7-2020 175	231151,24	440076,08	17,6	17,2
174	13-7-2020 174	231199,69	440064,18	17,6	17,2
173	13-7-2020 173	231249,06	440070,82	17,6	17,2
172	13-7-2020 172	231297,90	440058,98	17,6	17,2
171	13-7-2020 171	231346,46	440045,80	17,5	17,2
170	13-7-2020 170	231394,31	440030,63	17,5	17,2
169	13-7-2020 169	231431,96	439998,05	17,7	17,4
168	13-7-2020 168	231449,01	439951,29	17,7	17,4
167	13-7-2020 167	231441,55	439902,11	17,8	17,4
166	13-7-2020 166	231421,40	439856,01	17,8	17,4
165	13-7-2020 165	231399,92	439810,53	17,8	17,4
164	13-7-2020 164	231376,94	439765,78	17,8	17,4
163	13-7-2020 163	231311,35	439744,45	17,9	17,4
162	13-7-2020 162	231293,82	439697,47	17,9	17,4
161	13-7-2020 161	231276,28	439650,50	17,9	17,4
160	13-7-2020 160	231258,75	439603,52	17,9	17,4
159	13-7-2020 159	231241,22	439556,55	17,9	17,4
158	13-7-2020 158	231223,68	439509,57	17,9	17,4
157	13-7-2020 157	231206,15	439462,60	17,9	17,4
156	13-7-2020 156	231186,22	439416,60	17,9	17,4
155	13-7-2020 155	231165,92	439370,75	17,9	17,4
154	13-7-2020 154	231145,63	439324,90	17,8	17,5
153	13-7-2020 153	231125,33	439279,05	17,8	17,4
152	13-7-2020 152	231105,04	439233,20	17,8	17,4
151	13-7-2020 151	231084,75	439187,35	17,8	17,4
150	13-7-2020 150	231064,45	439141,50	17,9	17,4
149	13-7-2020 149	231031,87	439105,62	17,8	17,4
148	13-7-2020 148	230983,07	439110,04	20,7	20,4
147	13-7-2020 147	230935,22	439125,02	20,7	20,4
146	13-7-2020 146	230887,53	439140,49	20,7	20,4
145	13-7-2020 145	230840,19	439157,00	20,8	20,4
144	13-7-2020 144	230792,84	439173,50	20,8	20,4
143	13-7-2020 143	230745,62	439190,35	20,8	20,4
142	13-7-2020 142	230699,47	439209,95	20,8	20,4
141	13-7-2020 141	230653,34	439229,59	20,7	20,4
140	13-7-2020 140	230607,92	439250,53	20,7	20,4
139	13-7-2020 139	230586,59	439293,39	20,9	20,4
138	13-7-2020 138	230597,10	439342,34	21,0	20,4
137	13-7-2020 137	230608,74	439391,11	20,9	20,4
136	13-7-2020 136	230620,37	439439,88	20,9	20,4
135	13-7-2020 135	230632,00	439488,66	20,9	20,4
134	13-7-2020 134	230643,63	439537,43	20,9	20,4
133	13-7-2020 133	230653,57	439586,56	20,9	20,4
132	13-7-2020 132	230662,60	439635,88	20,8	20,4
131	13-7-2020 131	230671,63	439685,20	20,8	20,4
129	13-7-2020 129	230675,19	439784,49	20,8	20,4
128	13-7-2020 128	230669,91	439834,35	20,7	20,4
127	13-7-2020 127	230666,40	439884,24	20,7	20,4
126	13-7-2020 126	230695,02	439923,05	20,7	20,4
125	13-7-2020 125	230737,47	439949,74	20,7	20,4

Rapport: Resultatentabel
 Model: 2020
 Resultaten voor model: 2020
 Stof: PM10 - Fijnstof
 Zeezoutcorrectie: Nee
 Referentiejaar: 2020

Naam	PM10 Bronbijdrage [$\mu\text{g}/\text{m}^3$]	PM10 # Overschrijdingen 24 uur limiet [-]
184	0,3	6
183	0,3	6
182	0,3	6
181	0,4	6
180	0,4	6
179	0,4	6
178	0,4	6
177	0,4	6
176	0,5	6
175	0,4	6
174	0,4	6
173	0,4	6
172	0,4	6
171	0,3	6
170	0,3	6
169	0,3	6
168	0,3	6
167	0,3	6
166	0,3	6
165	0,4	6
164	0,4	6
163	0,5	6
162	0,5	6
161	0,5	6
160	0,5	6
159	0,5	6
158	0,5	6
157	0,5	6
156	0,4	6
155	0,4	6
154	0,4	6
153	0,4	6
152	0,4	6
151	0,4	6
150	0,5	6
149	0,4	6
148	0,3	8
147	0,4	8
146	0,4	8
145	0,4	8
144	0,4	8
143	0,4	8
142	0,4	8
141	0,4	8
140	0,4	8
139	0,6	8
138	0,6	9
137	0,5	9
136	0,5	9
135	0,5	9
134	0,5	9
133	0,5	9
132	0,5	9
131	0,5	9
129	0,4	9
128	0,4	9
127	0,3	8
126	0,3	8
125	0,3	8

Rapport: Resultatentabel
 Model: 2020
 Resultaten voor model: 2020
 Stof: PM10 - Fijnstof
 Zeezoutcorrectie: Nee
 Referentiejaar: 2020

Naam	Omschrijving	X coördinaat	Y coördinaat	PM10 Concentratie [$\mu\text{g}/\text{m}^3$]	PM10 Achtergrond [$\mu\text{g}/\text{m}^3$]
124	13-7-2020 124	230779,91	439976,43	20,7	20,4
123	13-7-2020 123	230822,36	440003,13	18,0	17,6
122	13-7-2020 122	230864,80	440029,82	18,0	17,6
121	13-7-2020 121	230907,26	440056,49	18,0	17,6
120	13-7-2020 120	230955,50	440062,21	18,1	17,6
119	13-7-2020 119	231004,81	440053,14	17,7	17,2
118	13-7-2020 118	231054,12	440044,08	17,7	17,2
117	13-7-2020 117	231103,44	440035,01	17,7	17,2
116	13-7-2020 116	231152,16	440023,49	17,7	17,2
115	13-7-2020 115	231200,09	440008,75	17,7	17,2
114	13-7-2020 114	231247,33	440020,40	17,6	17,2
113	13-7-2020 113	231295,81	440007,74	17,6	17,2
112	13-7-2020 112	231344,20	439994,60	17,8	17,4
111	13-7-2020 111	231388,04	439972,70	17,8	17,4
110	13-7-2020 110	231397,02	439925,64	17,8	17,4
109	13-7-2020 109	231377,15	439879,61	17,8	17,4
108	13-7-2020 108	231355,88	439834,23	17,8	17,4
107	13-7-2020 107	231332,97	439789,62	17,9	17,4
106	13-7-2020 106	231290,65	439760,40	17,9	17,4
105	13-7-2020 105	231312,87	439805,20	17,9	17,4
104	13-7-2020 104	231335,72	439849,71	17,9	17,4
103	13-7-2020 103	231356,67	439895,13	17,8	17,5
102	13-7-2020 102	231374,12	439941,59	17,8	17,4
101	13-7-2020 101	231338,81	439970,16	17,8	17,4
100	13-7-2020 100	231290,52	439983,27	17,9	17,4
99	13-7-2020 99	231242,16	439996,10	17,9	17,4
98	13-7-2020 98	231196,45	439983,71	18,0	17,4
97	13-7-2020 97	231148,63	439998,42	18,0	17,4
96	13-7-2020 96	231100,07	440010,21	17,8	17,2
95	13-7-2020 95	231050,86	440019,26	17,8	17,2
94	13-7-2020 94	231001,65	440028,30	17,7	17,2
93	13-7-2020 93	230952,44	440037,35	18,1	17,6
92	13-7-2020 92	230906,12	440026,28	18,1	17,6
91	13-7-2020 91	230863,77	439999,64	18,1	17,6
90	13-7-2020 90	230821,41	439973,00	20,8	20,4
89	13-7-2020 89	230779,06	439946,36	20,8	20,4
88	13-7-2020 88	230736,70	439919,72	20,7	20,4
87	13-7-2020 87	230695,58	439891,60	20,7	20,4
86	13-7-2020 86	230694,16	439842,74	20,8	20,4
85	13-7-2020 85	230699,43	439792,98	20,9	20,4
84	13-7-2020 84	230704,70	439743,22	20,9	20,4
83	13-7-2020 83	230698,62	439693,79	20,9	20,4
82	13-7-2020 82	230689,61	439644,58	20,9	20,4
81	13-7-2020 81	230680,60	439595,36	21,0	20,4
80	13-7-2020 80	230671,42	439546,17	21,0	20,4
73	13-7-2020 73	230681,13	439244,93	20,9	20,4
72	13-7-2020 72	230727,16	439225,33	20,9	20,4
71	13-7-2020 71	230773,58	439206,69	20,8	20,4
69	13-7-2020 69	230868,07	439173,75	20,9	20,4
68	13-7-2020 68	230915,37	439157,44	20,9	20,4
67	13-7-2020 67	230963,12	439142,48	20,9	20,4
65	13-7-2020 65	231044,66	439158,55	17,9	17,4
64	13-7-2020 64	231064,91	439204,30	17,8	17,4
63	13-7-2020 63	231085,16	439250,06	17,8	17,4
62	13-7-2020 62	231105,41	439295,81	17,9	17,4
61	13-7-2020 61	231125,67	439341,56	17,9	17,4
60	13-7-2020 60	231145,92	439387,32	17,9	17,4
59	13-7-2020 59	231166,17	439433,07	17,9	17,4
58	13-7-2020 58	231185,64	439479,15	17,9	17,4

Rapport: Resultatentabel
 Model: 2020
 Resultaten voor model: 2020
 Stof: PM10 - Fijnstof
 Zeezoutcorrectie: Nee
 Referentiejaar: 2020

Naam	PM10 Bronbijdrage [$\mu\text{g}/\text{m}^3$]	PM10 # Overschrijdingen 24 uur limiet [-]
124	0,4	8
123	0,4	6
122	0,4	6
121	0,4	6
120	0,5	6
119	0,5	6
118	0,5	6
117	0,5	6
116	0,5	6
115	0,5	6
114	0,4	6
113	0,4	6
112	0,4	6
111	0,3	6
110	0,3	6
109	0,4	6
108	0,4	6
107	0,4	6
106	0,5	6
105	0,5	6
104	0,4	6
103	0,4	6
102	0,4	6
101	0,4	6
100	0,4	6
99	0,5	6
98	0,5	6
97	0,6	6
96	0,6	6
95	0,6	6
94	0,6	6
93	0,5	6
92	0,5	6
91	0,4	6
90	0,4	8
89	0,4	8
88	0,4	8
87	0,3	8
86	0,4	9
85	0,5	8
84	0,5	8
83	0,5	8
82	0,6	9
81	0,6	9
80	0,7	9
73	0,6	8
72	0,6	8
71	0,4	8
69	0,6	8
68	0,5	8
67	0,5	8
65	0,5	6
64	0,4	6
63	0,4	6
62	0,4	6
61	0,4	6
60	0,5	6
59	0,5	6
58	0,5	6

Rapport: Resultatentabel
 Model: 2020
 Resultaten voor model: 2020
 Stof: PM10 - Fijnstof
 Zeezoutcorrectie: Nee
 Referentiejaar: 2020

Naam	Omschrijving	X coördinaat	Y coördinaat	PM10 Concentratie [$\mu\text{g}/\text{m}^3$]	PM10 Achtergrond [$\mu\text{g}/\text{m}^3$]
57	13-7-2020 57	231203,14	439526,02	18,0	17,4
56	13-7-2020 56	231220,64	439572,90	18,0	17,4
55	13-7-2020 55	231238,13	439619,78	18,0	17,4
54	13-7-2020 54	231255,63	439666,65	18,0	17,4
53	13-7-2020 53	231273,13	439713,53	18,0	17,4
52	13-7-2020 52	231278,86	439771,06	18,0	17,4
51	13-7-2020 51	231301,46	439815,83	17,9	17,5
50	13-7-2020 50	231324,38	439860,44	17,9	17,4
49	13-7-2020 49	231345,10	439906,10	17,9	17,4
48	13-7-2020 48	231352,61	439950,31	17,8	17,4
47	13-7-2020 47	231304,44	439963,95	17,9	17,4
46	13-7-2020 46	231256,04	439977,09	17,9	17,4
45	13-7-2020 45	231211,49	439964,05	18,0	17,4
44	13-7-2020 44	231163,45	439978,17	18,0	17,4
43	13-7-2020 43	231115,32	439992,15	18,0	17,4
42	13-7-2020 42	231065,99	440001,23	17,8	17,2
41	13-7-2020 41	231016,66	440010,29	17,8	17,2
40	13-7-2020 40	230967,33	440019,36	18,2	17,6
39	13-7-2020 39	230919,59	440017,02	18,1	17,6
38	13-7-2020 38	230877,13	439990,32	20,8	20,4
37	13-7-2020 37	230834,67	439963,62	20,8	20,4
36	13-7-2020 36	230792,22	439936,92	20,8	20,4
35	13-7-2020 35	230749,76	439910,22	20,8	20,4
34	13-7-2020 34	230708,07	439882,58	20,7	20,4
32	13-7-2020 32	230715,53	439783,42	20,8	20,4
31	13-7-2020 31	230720,25	439733,52	20,9	20,4
30	13-7-2020 30	230712,09	439684,09	20,9	20,4
29	13-7-2020 29	230703,06	439634,76	20,9	20,4
28	13-7-2020 28	230694,03	439585,43	21,0	20,4
27	13-7-2020 27	230684,46	439536,20	21,0	20,4
26	13-7-2020 26	230672,83	439487,41	20,9	20,4
25	13-7-2020 25	230661,19	439438,63	20,9	20,4
24	13-7-2020 24	230649,55	439389,84	20,9	20,4
23	13-7-2020 23	230637,92	439341,05	20,9	20,4
13	13-7-2020 13	231032,33	439167,76	17,9	17,4
12	13-7-2020 12	231052,63	439213,62	17,8	17,4
11	13-7-2020 11	231072,93	439259,49	17,9	17,4
10	13-7-2020 10	231093,23	439305,35	17,9	17,4
9	13-7-2020 9	231113,53	439351,21	17,9	17,4
8	13-7-2020 8	231133,83	439397,08	18,0	17,4
7	13-7-2020 7	231154,13	439442,94	18,0	17,4
6	13-7-2020 6	231173,40	439489,23	18,0	17,4
5	13-7-2020 5	231190,93	439536,22	18,0	17,4
4	13-7-2020 4	231208,47	439583,21	18,0	17,4
3	13-7-2020 3	231226,01	439630,19	18,0	17,4
2	13-7-2020 2	231243,55	439677,18	18,0	17,4
1	13-7-2020 1	231261,09	439724,17	18,0	17,4

Rapport: Resultatentabel
 Model: 2020
 Resultaten voor model: 2020
 Stof: PM10 - Fijnstof
 Zeezoutcorrectie: Nee
 Referentiejaar: 2020

Naam	PM10 Bronbijdrage [$\mu\text{g}/\text{m}^3$]	PM10 # Overschrijdingen 24 uur limiet [-]
57	0,5	6
56	0,5	6
55	0,5	6
54	0,5	6
53	0,5	6
52	0,5	6
51	0,5	6
50	0,5	6
49	0,4	6
48	0,4	6
47	0,4	6
46	0,5	6
45	0,6	6
44	0,6	6
43	0,6	6
42	0,6	6
41	0,6	6
40	0,6	6
39	0,5	6
38	0,5	8
37	0,4	8
36	0,4	9
35	0,4	8
34	0,4	8
32	0,5	8
31	0,5	8
30	0,5	8
29	0,5	8
28	0,6	9
27	0,6	9
26	0,6	8
25	0,6	8
24	0,6	8
23	0,6	8
13	0,4	6
12	0,4	6
11	0,4	6
10	0,4	6
9	0,5	6
8	0,5	6
7	0,5	6
6	0,5	6
5	0,6	6
4	0,6	6
3	0,6	6
2	0,6	6
1	0,6	6